

درس ششم: یافتن طیف انرژی برای چند پتانسیل ساده

۱ مقدمه

در این درس می‌خواهیم طیف انرژی یک ذره را که در پتانسیل ساده ای قرار دارد تعیین کنیم. اغلب مسائلی که حل می‌کنیم یک بعدی اند و به نظر خیلی ساده به نظر می‌رسند، آنقدر ساده که به نظر نمی‌رسد هیچ مسئله واقعی را بتوان با آنها بررسی کرد. ولی این دریافت درست نیست زیرا خصلت‌های اصلی بسیاری از مسائل واقعی را در همین مثال‌های ساده می‌توان دید. مسئله اصلی‌ای که در مکانیک کوانتومی با آن روبرو هستیم آن است که طیف انرژی هامیلتونی یک سیستم را پیدا کنیم. این سیستم می‌تواند بسیار ساده مثل یک ذره در یک چاه پتانسیل یک بعدی و یا یک نوسانگر هارمونیک یک بعدی باشد و یا یک سیستم بس ذره‌ای بسیار پیچیده مثل یک جامد. چرا یافتن طیف انرژی تا این اندازه مهم است؟ نخستین دلیل آن است که اگر یک سیستم را به حال خود رها کنیم این سیستم در حالت پایه یعنی حالتی که کمترین انرژی را دارد قرار خواهد داشت، بنابراین دانستن حالت پایه یک سیستم اهمیت بسیار دارد. در دمای غیر صفر یک سیستم با احتمال $P = \frac{1}{Z} e^{-\beta E}$ که در آن Z یک ثابت است در حالتی با انرژی E قرار می‌گیرد. و بالاخره هرگاه ویژه حالت‌های انرژی را تعیین کنیم آنگاه می‌توانیم دینامیک سیستم را در طول زمان به طور کامل تعیین کنیم. بنابراین نخستین مسئله‌ای که با آن روبرو هستیم آن است که طیف انرژی هامیلتونی را پیدا کنیم، که به معنای حل مسئله ویژه مقدراری زیر است:

$$H|\psi\rangle = E|\psi\rangle. \quad (1)$$

برای یک ذره که در یک بعد و تحت پتانسیل $V(X)$ حرکت می‌کند این معادله به شکل زیر است:

$$\left(\frac{P^2}{2m} + V(X) \right) |\psi\rangle = E|\psi\rangle. \quad (2)$$

هرگاه این رابطه را در پایه مختصات تصویر کنیم به شکل زیر در می‌آید:

$$-\frac{\hbar^2}{2m} \frac{\partial^2}{\partial x^2} \psi(x) + V(x)\psi(x) = E\psi(x). \quad (3)$$

در این حالت E را انرژی یا تراز انرژی و $\psi(x)$ را ویژه تابع می‌گویند. گاهی اوقات به این معادله معادله شرودینگر مستقل از زمان نیز می‌گویند اگر چه این نامگذاری خوبی نیست. ما هم در این درس از این معادله با نام معادله شرودینگر یاد می‌کنیم.

۲ چاه پتانسیل یک بعدی با عمق بی نهایت

ساده ترین مسئله ای که می توانیم معادله شرودینگر را برای آن حل کنیم، چاه پتانسیل یک بعدی با عمق بی نهایت است. شکل پتانسیل عبارت است از:

$$V(x) = \begin{cases} \infty & x \leq 0, \\ 0 & 0 \leq x \leq L, \\ \infty & L \leq x \end{cases} \quad (4)$$

بنابراین ذره در ناحیه ی $[0, L]$ کاملاً آزاد است ولی در نقاط 0 و L یعنی در دیواره های پتانسیل با یک نیروی بی نهایت مواجه شده و برمی گردد. احتمال وجود ذره در بیرون از پتانسیل برابر با صفر است. برای حل معادله شرودینگر کافی است که در ناحیه ی $[0, L]$ معادله شرودینگر را حل کنیم. در این ناحیه داریم

$$\frac{-\hbar^2}{2m} \frac{d^2\psi(x)}{dx^2} = E\psi(x). \quad (5)$$

با تعریف

$$k^2 = \frac{2mE}{\hbar^2}, \rightarrow E = \frac{\hbar^2 k^2}{2m} \quad (6)$$

این معادله به شکل زیر درمی آید

$$\frac{d^2\psi(x)}{dx^2} = -k^2\psi(x), \quad (7)$$

که حل عمومی آن به شکل زیر است

$$\psi(x) = A \cos kx + B \sin kx. \quad (8)$$

اما می دانیم که تابع موج می بایست در دیواره ها برابر با صفر باشد و این تنها وقتی امکان پذیر است که داشته باشیم

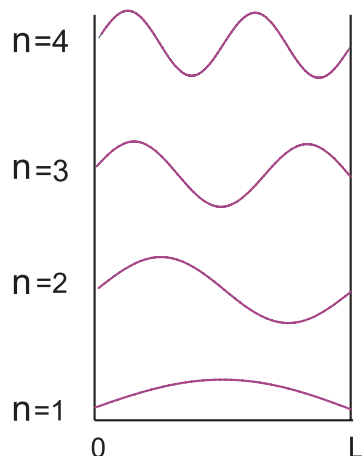
$$A = 0, \quad kL = n\pi. \quad (9)$$

بنابراین ترازهای انرژی و ویژه توابع مربوط به آنها عبارت خواهند بود از:

$$E_n = \frac{\hbar^2 n^2 \pi^2}{2mL^2}, \quad (10)$$

و

$$\psi_n(x) = A \sin \frac{n\pi}{L} x, \quad (11)$$



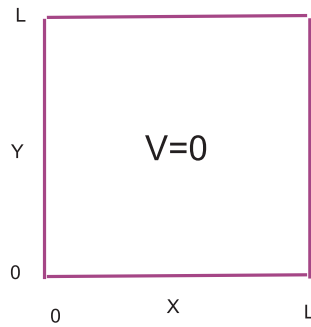
شکل ۱: چند تابع موج اولیه (حالت پایه و چند حالت برانگیخته) در چاه پتانسیل بی نهایت عمیق یک بعدی. فاصله سطوح انرژی به مقیاس رسم نشده است.

که در آن A یک ثابت است که توسط بهنجارش تابع موج تعیین می شود. شکل ۱ چند تابع موج اولیه را نشان می دهد. چاه پتانسیل یک بعدی بیشتر ارزش آموزشی دارد. تعمیم این پتانسیل به دو بعد و سه بعد جالب تر است زیرا موقعیت های واقعی تری را می توان با تقریب خوب توسط آنها نشان داد. در فصل بعد معادله شرودینگر را برای چاه پتانسیل دوبعدی حل می کنیم.

۳ چاه پتانسیل مربعی

ذره ای را در نظر بگیرید که توسط یک پتانسیل جاذبه بسیار قوی در جایی گیر افتاده است و نمی تواند از آن ناحیه فرار کند. در بعضی از موارد شکل پتانسیل چنان است که ذره درون این ناحیه تقریباً احساس آزادی می کند مثل این که نیرویی به آن وارد نمی شود. به عنوان مثال با ساده سازی بسیار زیاد می توان گفت که در هسته های سنگین هستک ها یعنی پروتون و نوترون هایی که با هم جفت می شوند و تشکیل یک هسته ی آلفا می دهند چنین وضعی دارند. مثال دیگری از این دست الکترونی است که در یک فلز قرار دارد و درون فلز تقریباً آزاد است و فقط نمی تواند از سطح فلز بیرون بیاید. به عنوان اولین تقریب چنین پتانسیل هایی را به صورت یک چاه بی نهایت عمیق در نظر می گیریم که دیواره های آن مانع خروج ذره از چاه می شوند. حل کردن معادله شرودینگر برای چاه های بی نهایت عمیق یک بعدی و یا چاه های بی نهایت عمیق مربعی و مکعبی در بعد دلخواه آسان است. این کاری است که در این بخش انجام می دهیم. حل مسئله چاه پتانسیل برای وقتی که چاه شکل دایره ای یا کروی دارد زحمت بیشتری دارد. این کار را در درس های آینده انجام می دهیم.

چاه پتانسیل مربعی با عمق بی نهایت را در نظر می گیریم. ابعاد چاه را در هر دو راستا برابر با L می گیریم. در درون چاه ذره در معادله شرودینگر آزاد با پتانسیل $V = 0$ صدق می کند و تابع موج در دیواره ها می بایست برابر با صفر باشد، شکل ۲.



شکل ۲: چاه پتانسیل مربعی.

بنابراین در درون چاه معادله زیر برقرار است:

$$-\frac{\hbar^2}{2m}\left(\frac{\partial^2}{\partial x^2} + \frac{\partial^2}{\partial y^2}\right)\psi(x, y) = E\psi(x, y). \quad (12)$$

با تعریف $k^2 := \frac{2mE}{\hbar^2}$ این معادله به شکل زیر درمی آید:

$$(\partial_x^2 + \partial_y^2)\psi(x, y) = -k^2\psi(x, y), \quad (13)$$

که در آن $\partial_x := \frac{\partial}{\partial x}$ و $\partial_y := \frac{\partial}{\partial y}$.

می توان به روش جدا کردن متغیرها معادله فوق را حل کرد. قرار می دهیم

$$\psi(x, y) = \phi(x)\chi(y) \quad (14)$$

و با جایگذاری آن در معادله شرو دینگر و تقسیم طرفین بر $\phi(x)\chi(y)$ به رابطه زیر می رسم

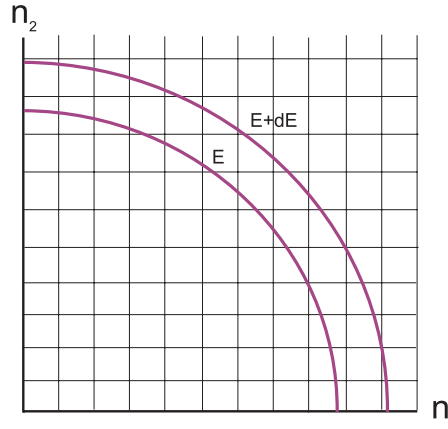
$$\frac{\phi''(x)}{\phi(x)} + \frac{\chi''(y)}{\chi(y)} = -k^2. \quad (15)$$

این معادله الزام می کند که $\frac{\phi''(x)}{\phi(x)}$ و $\frac{\chi''(y)}{\chi(y)}$ هر دو ثابت باشند. بنابراین

$$\phi''(x) = -k_x^2\phi(x), \quad \chi''(y) = -k_y^2\chi(y), \quad k^2 = k_x^2 + k_y^2. \quad (16)$$

شرایط مرزی آن است که تابع موج در دیواره های پتانسیل برابر با صفر باشد. بنابراین حل این معادلات عبارت خواهند بود از:

$$\phi(x) = A \sin k_x x, \quad \chi(y) = B \sin k_y y, \quad k_x L = n_1 \pi, \quad k_y L = n_2 \pi. \quad (17)$$



شکل ۳: تعداد حالت هایی که انرژی آنها بین E و $E + dE$ است، به تعداد نقاطی است که بین دو ربع دایره قرار دارند.

در نتیجه ویژه تابع موج بهنجار عبارت خواهد بود از:

$$\psi(x, y) = \frac{2}{L} \sin \frac{n_1 \pi}{L} x \sin \frac{n_2 \pi}{L} y, \quad (18)$$

با انرژی

$$E_{n_1, n_2} = \frac{\hbar^2}{2m} (k_x^2 + k_y^2) = \frac{\hbar^2 \pi^2}{2m L^2} (n_1^2 + n_2^2)$$

. بنابراین هرتراز انرژی با دو عدد کوانتومی $0 < n_1, n_2$ مشخص می شود. می توانیم در یک دیاگرام دوبعدی به ازای هر جفت عدد کوانتومی (n_1, n_2) یک نقطه با مختصات صحیح در یک دیاگرام دوبعدی رسم کنیم. حال تمام نقاطی که در یک ربع دایره با معادله

$$n_1^2 + n_2^2 = \frac{2mEL^2}{\pi^2 \hbar^2}$$

قرار دارند تقریباً یک انرژی دارند. شعاع این دایره برابر است با $R = \frac{L}{\pi \hbar} \sqrt{2mE}$. می گوئیم تقریباً زیرا همه نقاط روی این ربع دایره مختصات صحیح ندارند. اما برای انرژی های زیاد می توان با تقریب خوبی تعداد نقاطی را که بین دو ربع دایره مربوط به انرژی های E و $E + \Delta E$ وجود دارند بدست آورد، شکل ۳.

از آنجا که برای هر مربع کوچک یک نقطه وجود دارد تعداد نقاط برابر است با تفاوت مساحت های دو ربع دایره. بنابراین

$$dn = \frac{1}{4} d(\pi R^2) = \frac{1}{4} 2\pi R dR = \frac{1}{4} 2\pi R \frac{dR}{dE} dE = \left(\frac{L}{\pi \hbar}\right)^2 m dE. \quad (19)$$

به این ترتیب تابعی بدست می آوریم که به آن چگالی حالات می گوئیم. این تابع که آن را معمولاً با $g(E)$ نشان می دهیم به مامی گوید که در هر بازه انرژی چه تعداد حالت وجود دارد. برای چاه پتانسیل مربعی دو بعدی داریم

$$dn = g_2(E)dE, \quad g_2(E) = \frac{\pi}{4} \left(\frac{L}{\pi\hbar}\right)^2 (2m)^{\frac{3}{2}}. \quad (20)$$

برای چاه پتانسیل سه بعدی ویژه حالت های انرژی سه عدد کوانتومی دارند و انرژی هر حالت برابر است با

$$E = \frac{\hbar^2}{2m} \frac{\pi^2}{L^2} (n_1^2 + n_2^2 + n_3^2), \quad 0 < n_1, n_2, n_3 \quad (21)$$

در این جا حالت های هم انرژی روی یک هشتم از کره ای قرار گرفته اند که شعاع آن بازهم برابر است با $R = \frac{L}{\pi\hbar} \sqrt{2mE}$. امالین بار چگالی حالت ها از رابطه زیر بدست می آید:

$$dn = \frac{1}{8} d\left(\frac{4}{3}\pi R^3\right) = \left(\frac{\pi R^2}{2} \frac{dR}{dE}\right) dE. \quad (22)$$

در نتیجه برای چاه مکعبی سه بعدی خواهیم داشت

$$g_3(E) = \frac{\pi}{4} \left(\frac{L}{\pi\hbar}\right)^3 (2m)^{\frac{3}{2}} E^{\frac{1}{2}}. \quad (23)$$

به همین ترتیب می توان چاه پتانسیل را در d بعد حل کرد. خواننده را تشویق می کنیم که محاسبه مربوط به چگالی حالت ها را برای d بعد انجام دهد.

۴ قضایای کلی درباره پتانسیل های یک بعدی

تا کنون پتانسیل های بسیار ساده را بررسی کردیم. پتانسیل هایی که می توان معادله شرودینگر را برای آنها به طور دقیق حل کرد بسیار کمیاب اند. این امر حتی برای پتانسیل های یک بعدی نیز صادق است. با این وجود خوب است که بعضی خصیلت های عمومی معادله شرودینگر را بررسی کنیم. این خصیلت ها را در قضایایی که در این بخش آورده ایم بیان می کنیم.

قضیه ۱: هرگاه پتانسیل زوج باشد یعنی $V(x) = V(-x)$ آنگاه ویژه حالت های انرژی را می توان با پاریتته مشخص گرفت یعنی می توان ویژه حالت ها را طوری گرفت که یا زوج باشند یا فرد.

اثبات: برای پتانسیل زوج براحتی دیده می شود که اگر $\psi(x)$ یک ویژه حالت با انرژی E باشد، آنگاه $\psi(-x)$ نیز یک ویژه حالت با انرژی E است. بنابراین همواره می توان ویژه حالت را به صورت $\psi_e(x) = \psi(x) + \psi(-x)$ ویا

$\psi_o(x) = \psi(x) - \psi(-x)$ گرفت که اولی زوج و دومی فرداست.

قضیه ۲: هرگاه پتانسیل حقیقی باشد آنگاه ویژه حالت های انرژی را می توان حقیقی گرفت.

اثبات: برای پتانسیل حقیقی براحتی دیده می شود که اگر ψ یک ویژه حالت با انرژی E باشد، آنگاه ψ^* نیز یک ویژه حالت با انرژی E است. بنابراین همواره می توان ویژه حالت را به صورت $\psi + \psi^*$ یا $i(\psi - \psi^*)$ گرفت که هر دو حقیقی اند.

قضیه ۳: ویژه حالت های انرژی در یک بعد واگنی ندارند.

اثبات: فرض کنید که ψ_1 و ψ_2 دو ویژه حالت انرژی متناظر با انرژی E باشند. در این صورت

$$\begin{aligned} -\frac{\hbar^2}{2m} \frac{\partial^2}{\partial x^2} \psi_1 + V(x)\psi_1 &= E\psi_1 \\ -\frac{\hbar^2}{2m} \frac{\partial^2}{\partial x^2} \psi_2 + V(x)\psi_2 &= E\psi_2. \end{aligned} \quad (24)$$

با ضرب کردن اولین معادله در ψ_2 و دومین معادله در ψ_1 و کم کردن دومعادله از هم بدست می آوریم:

$$-\frac{\hbar^2}{2m} (\psi_2 \frac{\partial^2}{\partial x^2} \psi_1 - \psi_1 \frac{\partial^2}{\partial x^2} \psi_2) = 0, \quad (25)$$

و یا

$$-\frac{\hbar^2}{2m} \frac{\partial}{\partial x} \left(\psi_2 \frac{\partial}{\partial x} \psi_1 - \psi_1 \frac{\partial}{\partial x} \psi_2 \right) = 0, \quad (26)$$

که از آن نتیجه می گیریم

$$\psi_2 \frac{\partial}{\partial x} \psi_1 - \psi_1 \frac{\partial}{\partial x} \psi_2 = Const. \quad (27)$$

با در نظر گرفتن حد $x \rightarrow \infty$ می فهمیم که مقدار ثابت برابر است با صفر. در نتیجه

$$\psi_1 \frac{d}{dx} \psi_1 - \psi_1 \frac{d}{dx} \psi_2 = 0. \quad (28)$$

اما این رابطه آخر به این معناست که ψ_1 و ψ_2 با هم متناسبند و بنابراین هیچ نوع واگنی وجود ندارد.

نتیجه یک: در قضیه ۱ ثابت کردیم که برای یک پتانسیل حقیقی می توان ویژه توابع را حقیقی گرفت. حال با استفاده از قضیه ۳ نشان می دهیم که در یک بعد این ویژه توابع منهای یک فاز سرتاسری حتماً حقیقی هستند. برای این منظور فرض کنید که $\psi(x) = \alpha(x) + i\beta(x)$ یک ویژه تابع باشد. در این صورت برای پتانسیل حقیقی $\psi^*(x) = \alpha(x) - i\beta(x)$ نیز یک ویژه تابع با همان انرژی است. بنابراین نتیجه می گیریم که $\alpha = \frac{1}{2}(\psi(x) + \psi^*(x))$ و هم چنین $\beta(x) = \frac{1}{2i}(\psi(x) - \psi^*(x))$ نیز ویژه تابع هایی با همان انرژی هستند. اما چون در یک بعد واگنی نداریم پس باید این دو ویژه تابع با هم متناسب باشند یعنی $\beta = \kappa\alpha$. بدلیل اینکه هر دو ویژه تابع α و β می بایست بهنجار باشند، ثابت κ می بایست برابر با یکی از مقادیر $0, \infty$ و یا ± 1 باشد. اما این امر به این معناست که یا یکی از توابع α و β برابر با صفر است و یا اینکه $\psi(x) = \alpha(x)(1 \pm i)$. در هر صورت تابع $\psi(x)$ چیزی نیست جز یک فاز عمومی در یک تابع حقیقی.

نتیجه دو: در قضیه ۲ ثابت کردیم که برای یک پتانسیل زوج می توان ویژه توابع را با پارامتر مشخص گرفت یعنی ویژه توابع را می توان زوج و یا فرد گرفت. حال با استفاده از قضیه ۳ نشان می دهیم که در یک بعد این ویژه توابع حتماً یا فرد هستند و یا زوج. برای این منظور فرض کنید که $\psi(x)$ یک ویژه تابع باشد. در این صورت برای پتانسیل زوج $\psi(-x)$ نیز یک ویژه تابع با همان انرژی است. بنابراین نتیجه می گیریم که $\psi_e = \psi(x) + \psi(-x)$ و هم چنین $\psi_o(x) = \psi(x) - \psi(-x)$ نیز ویژه تابع هایی با همان انرژی هستند. اما چون در یک بعد واگنی نداریم پس باید این دو ویژه تابع با هم متناسب باشند یعنی $\psi_e(x) = \kappa\psi_o(x)$. بدلیل اینکه هر دو ویژه تابع ψ_e و ψ_o می بایست بهنجار باشند، ثابت κ می بایست برابر با یکی از مقادیر $0, \infty$ و یا ± 1 باشد. در حالت اول ($\kappa = 0, \infty$) تابع یا حتماً فرد است و یا حتماً زوج. در حالت دوم نیز نتیجه می شود که تابع $\psi(x)$ یا $\psi(-x)$ متحد با صفر هستند که قابل قبول نیست. بنابراین ثابت کرده ایم که ویژه توابع می بایست حتماً زوج و یا فرد باشند.

قضیه ۴: مقادیر ویژه انرژی همواره از مقدار می نیم پتانسیل بیشترند.

اثبات: فرض کنید که یک ویژه حالت انرژی با انرژی E وجود داشته باشد به قسمی که

$$H|\psi\rangle = E|\psi\rangle, \quad E < V(x) \quad \forall x. \quad (29)$$

در این صورت با توجه به اینکه $H = \frac{P^2}{2m} + V(X)$ می نویسیم:

$$\langle \psi | \frac{P^2}{2m} | \psi \rangle = \langle \psi | (H - V(X)) | \psi \rangle = \int \psi^*(x)(E - V(x))\psi(x) dx < 0, \quad (30)$$

و حال آنکه عملگر $\frac{P^2}{2m}$ یک عملگر مثبت است و مقدار متوسط آن روی هیچ حالتی نمی بایست منفی باشد. بنابراین فرض 29 نمی تواند صحیح باشد.

قضیه ۵: اگر تابع پتانسیل متناهی باشد هم ویژه توابع انرژی وهم مشتقات آنها می بایست پیوسته باشند.

اثبات: معادله شرودینگر مستقل از زمان را در نظر می گیریم.

$$-\frac{\hbar^2}{2m} \frac{d^2}{dx^2} \psi + V(x)\psi = E\psi. \quad (31)$$

نخست دقت می کنیم که تابع ψ نمی تواند در یک نقطه مثل x_0 شامل تابع دلتا باشد زیرا در این صورت بهنجار نخواهد بود. بنابراین تنها می تواند در این نقطه یک ناپیوستگی متناهی داشته باشد به این شکل که $\psi(x_0+) - \psi(x_0-) = C$ که در آن C یک ثابت است. در این صورت در نزدیکی نقطه x_0 خواهیم داشت

$$\frac{d}{dx} \psi(x) \equiv C\delta(x - x_0), \quad (32)$$

و در نتیجه در نزدیکی همان نقطه

$$\frac{d^2}{dx^2} \psi(x) \equiv C \frac{d}{dx} \delta(x - x_0). \quad (33)$$

چون در طرف راست معادله شرودینگر هم E و هم ψ محدود هستند، نتیجه می گیریم که چنین ناپیوستگی ای نمی تواند در تابع ψ وجود داشته باشد.

هم چنین مشتق تابع ψ نیز نمی تواند ناپیوسته باشد. زیرا در این صورت خواهیم داشت $\psi'(x_0+) - \psi'(x_0-) = C$ و از آنجا

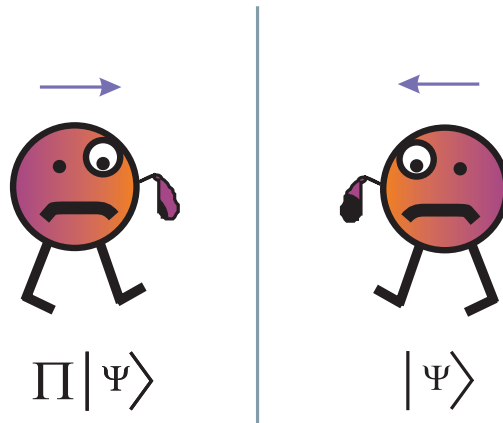
$$\frac{d^2}{dx^2} \psi(x) \equiv C\delta(x - x_0) \quad (34)$$

و چنین جمله ای در طرف راست معادله شرودینگر وجود ندارد.

باید دقت کرد که اگر پتانسیل داری یک ناپیوستگی به صورت $V(x_0+) - V(x_0-) \propto \infty$ باشد آنگاه مشتق تابع موج می تواند یک ناپیوستگی به صورت

$$\psi'(x_0+) - \psi'(x_0-) = C \quad (35)$$

داشته باشد ولی خود تابع موج هم چنان می بایست پیوسته باشد زیرا ناپیوسته بودن تابع موج در طرف چپ معادله شرودینگر تولید مشتق تابع دلتای دیراک می کند که در طرف راست وجود ندارد.



شکل ۴: اثر عملگر پاریته روی حالت یک شیء همان اثری است که آینه روی شیء دارد. دقت کنید که جهت تکانه نیز عوض می شود.

۵ عملگر پاریته

می توان با معرفی عملگر پاریته می توان قضیه ای را که در بخش پیشین دیدیم به شکل ظریف تری بیان کرد. عملگر پاریته را در یک بعد به شکل زیر تعریف می کنیم:

$$\Pi|x\rangle = |-x\rangle. \quad (36)$$

بنابراین تحت این عملگر هر شیء به تصویر آینه ای خودش نگاشته می شود. از تعریف فوق می توان نتیجه گرفت که این عملگر با عملگر مکان پادجابجایی شود یعنی

$$\Pi X + X \Pi = 0. \quad (37)$$

هم چنین با توجه به اینکه $|p\rangle = \frac{1}{\sqrt{2\pi\hbar}} \int e^{\frac{ixp}{\hbar}} |x\rangle$ می توان نتیجه گرفت

$$\Pi|p\rangle = |-p\rangle. \quad (38)$$

بنابراین عملگر پاریته نه تنها اشیا را به تصویر آینه ای آنها تبدیل می کند، بلکه جهت همه سرعت ها را نیز معکوس می کند یعنی همان چیزی که موقع نگاه کردن به تصویر یک شیء متحرک در آینه می بینیم. شکل ۴ اثر عملگر پاریته را روی یک حالت نشان می دهد.

به همان ترتیب می توان نتیجه گرفت که

$$\Pi P + P \Pi = 0. \quad (39)$$

از تعریف این عملگر می توان فهمید که $\Pi^2 = I$. در نتیجه ویژه مقادیرهای آن عبارتند از ± 1 . باتوجه به روابط 37 و 39 می توان نتیجه گرفت که برای هر پتانسیل $V(X)$ رابطه زیر برقرار است:

$$\Pi V(X) \Pi = V(-X). \quad (40)$$

بنابراین اگر پتانسیل زوج باشد آنگاه

$$[\Pi, H] = 0. \quad (41)$$

در نتیجه برای این پتانسیل ها می توان ویژه بردارهای مشترک H و Π را یافت. این امر به این معناست که اگر $H|\psi\rangle = E|\psi\rangle$ آنگاه $\Pi|\psi\rangle = \pm|\psi\rangle$. برای این بردارها داریم

$$\langle x|\Pi|\psi\rangle = \pm\langle x|\psi\rangle \longrightarrow \langle -x|\psi\rangle = \pm\langle x|\psi\rangle, \quad (42)$$

و یا

$$\psi(-x) = \pm\psi(x), \quad (43)$$

که به این معناست که ویژه توابع هامیلتونی دارای پارامتر مشخص هستند یعنی یا فرد هستند و یا زوج. مثل هرتقارن دیگری، تقارن پارامتر اثر خود را بردینامیک نیز می گذارد. فرض کنید که تقارن پارامتر داشته باشیم، یعنی $[H, \Pi] = 0$. در این صورت عملگر تحول نیز با پارامتر جابجا خواهد شد یعنی $[U(t), \Pi] = 0$. حال اگر حالت اولیه ای مثل $|\psi(0)\rangle$ داشته باشیم بعد از گذشت زمان t این حالت به حالت $|\psi(t)\rangle = U(t)|\psi(0)\rangle$ متحول خواهد شد. یعنی

$$|\psi(0)\rangle \longrightarrow U(t)|\psi(0)\rangle. \quad (44)$$

حالت $|\psi(0)\rangle$ را می توانید حالت آدامک سمت راست در شکل ۴ تصور کنید. حال سوال این است که اگر حالت اولیه بجای $|\psi(0)\rangle$ ، حالت $\Pi|\psi(0)\rangle$ باشد حالت نهایی چیست؟ دقت کنیم که حالت $\Pi|\psi(0)\rangle$ نشان دهنده تصویر آدامک نخست در آینه یعنی آدامک سمت چپ در شکل ۴ است. پاسخ این سوال این است که

$$\Pi|\psi(0)\rangle \longrightarrow U(t)\Pi|\psi(0)\rangle = \Pi U(t)|\psi(0)\rangle = \Pi|\psi(t)\rangle. \quad (45)$$

معنای این رابطه این است که هرکاری را که هر تحولی که برای آدامک قابل تصور باشد، برای تصویر آینه ای آن نیز قابل تصور است. به عنوان مثال اگر آدامک به سمت راست برود، تصویر آن به سمت چپ خواهد رفت. به نظری رسد که همه اینها توضیح واضح است. ولی چنین نیست زیرا مادر زندگی روزانه خود به این تقارن خو گرفته ایم و آن را بدیهی می پنداریم، ولی این تقارن بدیهی نیست.

۱.۵ نقض تقارن آینه ای: آیا دنیای ما نسبت به انعکاس در آینه متقارن است؟

آیا برهم کنش های بنیادی طبیعت تقارن پاریته دارند؟ اگر چنین باشد هر فرایند میکروسکوپی را که در آزمایشگاه مشاهده کنیم می بایست تصویر آینه ای آن نیز قابل مشاهده و تصور باشد. اگرچه برهم کنش های گرانشی، الکترومغناطیسی و هسته ای قوی چنین تقارنی دارند ولی یکی از برهم کنش های بنیادی طبیعت به نام برهم کنش هسته ای ضعیف بدلیلی که نمی دانیم فاقد این تقارن است. این برهم کنش همان چیزی است که باعث واپاشی هسته ها از طریق واپاشی نوترون ها می شود. در این واپاشی یک نوترون به یک پروتون و یک الکترون و یک پادنوترینو واپاشیده می شود:



این واپاشی باعث تبدیل یک هسته ${}^Z N^A$ به یک هسته ${}^{Z+1} N^A$ می شود. در آزمایشی که در دهه ۱۹۵۰ توسط Wu و همکارانش انجام شد هسته های کبالت به نیکل واپاشیده می شدند

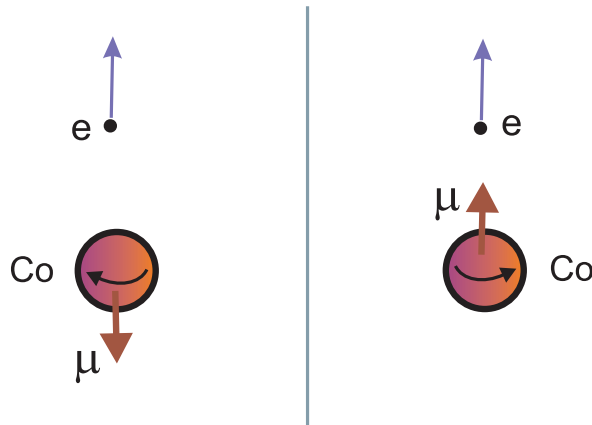


هسته های کبالت دارای گشتاور مغناطیسی ذاتی هستند که می توان با اعمال یک میدان مغناطیسی قوی و پایین آوردن دما به حد کافی آنها را با هم همراستا کرد. حال می توان پرسید که الکترون ها نسبت به این جهت تعریف شده در کدام جهت گسیل می شوند؟ آیا در همان جهت ممان مغناطیسی واپاشیده می شوند و یا در خلاف جهت آن و یا اینکه کاملاً به طور متقارن در هر دو جهت. در آزمایش Wu معلوم شد که الکترون ها در جهت ممان مغناطیسی گسیل می شوند. این نتیجه به نحو آشکاری نقض پاریته را نشان می دهد، زیرا هرگاه در آینه ای که به موازات ممان مغناطیسی قرار گرفته است به هسته های کبالت و الکترون های گسیل شده نگاه کنیم جهت ممان مغناطیسی کبالت را در خلاف جهت قبلی می بینیم ولی جهت گسیل الکترون ها را همان جهت قبلی می بینیم. شکل ۵.

اگر تقارن پاریته وجود می داشت می بایست تصویر آینه ای واپاشی کبالت نیز مشاهده می شد که در آن الکترون ها در خلاف جهت ممان مغناطیسی کبالت ها گسیل می شدند. به عبارت دیگر می بایست در یک آزمایش واپاشی کبالت الکترون ها در هر دو جهت گسیل می شدند که چنین چیزی را آزمایش نشان نمی دهد. نقض تقارن پاریته در برهم کنش های هسته ای ضعیف که اینقدر در زندگی روزمره به آن خو گرفته ایم و توسط همه برهم کنش های دیگر رعایت می شود یکی از مهمترین کشفیات فیزیک ذرات بنیادی بوده است.

۲.۵ پاریته در سه بعد

ممکن است خواننده سوال کند که چه ربطی بین تقارن آینه ای و تقارن تحت پاریته است؟ هم چنین ممکن است سوال کند چرا در شکل ۵ آنچنانکه از عمل پاریته انتظار داشتیم جهت تکانه الکترون ها را وارونه نکرده ایم. در پاسخ باید گفت که شکل ۵ و آزمایش مربوط به آن در واقع نقض تقارن آینه ای را نشان می دهند و تقارن آینه ای به پاریته مربوط است.



شکل ۵: واپاشی بتا برای هسته های کبالت. تصویر سمت راست آنچیزی است که در طبیعت مشاهده می شود. تصویر آینه ای آن هرگز دیده نشده است.

عملگر پاریته در سه بعد به شکل زیر تعریف می شود:

$$\Pi|\vec{r}\rangle = |-\vec{r}\rangle. \quad (48)$$

که از آن به همان شکل بالا می توان نتایج زیر را گرفت:

$$\Pi|\vec{p}\rangle = |-\vec{p}\rangle, \quad (49)$$

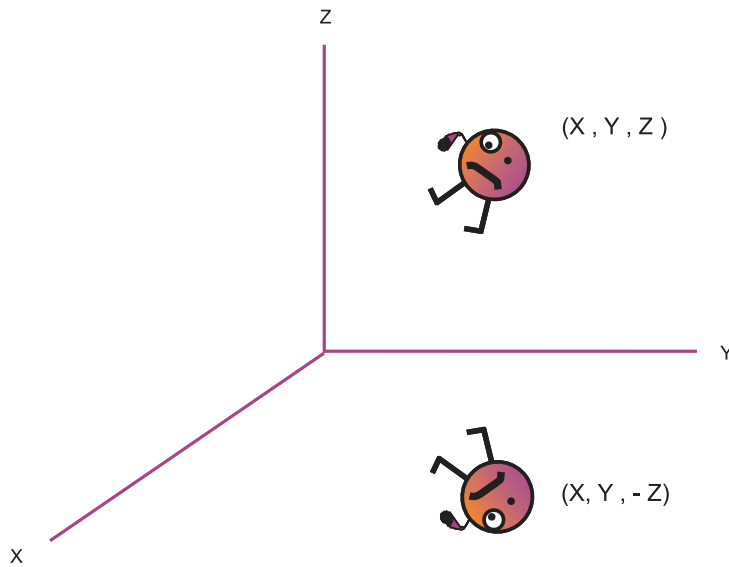
و

$$\Pi X_i + X_i \Pi = 0, \quad \Pi P_i + P_i \Pi = 0, \quad i = 1, 2, 3. \quad (50)$$

تصور عملگر پاریته و کاری که انجام می دهد در یک بعد آسان است ولی در سه بعد این کارچندان ساده نیست و ما به آن عادت نکرده ایم. اما می توان پاریته را به عملگر دیگری مرتبط کرد که تصورش بسیار آسان است و ما هر روز با آن مواجه می شویم، این عمل انعکاس نسبت به یک آینه است.

تصور کنید که می خواهیم تصویر هر چیزی را در آینه بی نهایت بزرگی که در صفحه xy قرار گرفته است ببینیم. این کار را نگاشت I_{xy} می نامیم و در مکانیک کوانتومی با عملگر \hat{R}_{xy} نشان می دهیم. این نگاشت روی مختصات فضا چه اثری دارد؟ ب راحتی می توانید خود را قانع کنید که مختصه هر نقطه را به شکل زیر تغییر می کند:

$$I_{xy} : (x, y, z) \longrightarrow (x, y, -z). \quad (51)$$



شکل ۶: تبدیل یک شی تحت انعکاس در آینه. چنین انعکاسی ناشی از دوران حول محور z به اندازه 180° درجه و سپس انعکاس حول مبدا (عمل پاریته) است.

هم چنین در یک آینه تکانه های ذرات نیز به شکل زیر تغییر می کنند:

$$I_{xy} : (p_x, p_y, p_z) \longrightarrow (p_x, p_y, -p_z). \quad (52)$$

آیا این عمل به عمل پاریته ربطی دارد یا آنکه کاملاً مستقل است؟ در این جا می خواهیم نشان دهیم که این عمل که آن را انعکاس نسبت به صفحه xy می نامیم، ترکیبی است از عمل پاریته و دوران. هرگاه دوران حول محور z به اندازه زاویه π را با $R_z(\pi)$ نشان خواهیم داشت:

$$R_z(\pi) : (x, y, z) \longrightarrow (-x, -y, z). \quad (53)$$

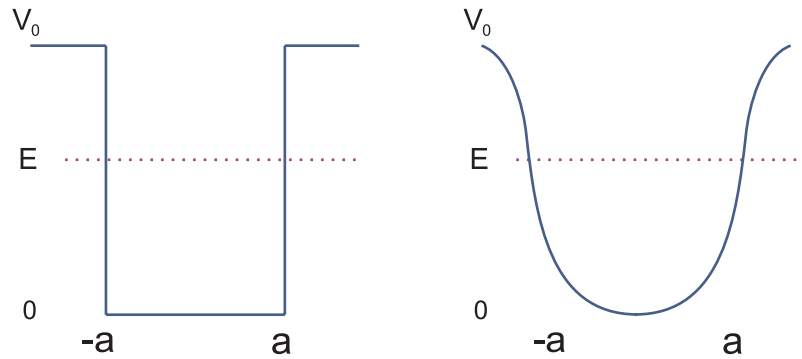
اگر این عمل را با پاریته ترکیب کنیم آنگاه خواهیم داشت:

$$\Pi R_z(\pi) : (x, y, z) \longrightarrow (-x, -y, z) \longrightarrow (x, y, -z). \quad (54)$$

بنابراین بدست می آوریم

$$I_{xy} = \Pi R_z(\pi). \quad (55)$$

می دانیم که دنیای ما تحت دوران متقارن است. بنابراین هرگاه تقارن پاریته وجود داشته باشد، تقارن آینه ای نیز وجود دارد و نقض تقارن پاریته نیز به معنای نقض تقارن آینه ای است.



شکل ۷: چاه پتانسیل با پهنا $2a$ و عمق V_0 . تصویر سمت چپ نخستین تقریب به پتانسیل واقعی سمت راست است.

۶ چاه پتانسیل یک بعدی با عمق محدود

در بخش های گذشته چاه های پتانسیل مربعی با عمق محدود را مطالعه کردیم. در این بخش چاه پتانسیل یک بعدی با عمق محدود را مطالعه می کنیم. این چاه نخستین تقریب به یک پتانسیل با برد و عمق محدود است، شکل ???. حل کردن چاه پتانسیل مربعی با عمق محدود به روش تحلیلی نه ساده است و نه مفید. به جای آن در فصل های آینده چاه پتانسیل دایره ای و کروی با عمق محدود را مطالعه می کنیم. نخستین پتانسیلی که به آن توجه می کنیم یک چاه پتانسیل با عمق محدود است. این پتانسیل در شکل (۷) نشان داده شده است و به صورت زیر است:

$$V(x) = \begin{cases} V_0 & x \leq -a, \\ 0 & -a \leq x \leq a, \\ V_0 & a \leq x \end{cases} \quad (56)$$

۱.۶ ویژه حالت های مقید

نخست حالت های مقید را بررسی می کنیم. این حالت ها حالت هایی هستند که انرژی آنها کمتر از V_0 است. خواهیم دید که این جواب ها در $\pm\infty$ به سمت صفر میل می کنند و فقط در ناحیه محدودی از فضا غیر صفر هستند. به همین دلیل است که آنها را جواب های مقید می گوئیم.

$$\begin{aligned}
-\frac{\hbar^2}{2m} \frac{d^2\psi}{dx^2} \psi + V_0\psi(x) &= E\psi & |x| > a \\
-\frac{\hbar^2}{2m} \frac{d^2\psi}{dx^2} \psi &= E\psi(x) & -a \leq x \leq a.
\end{aligned} \tag{57}$$

این معادلات را می توان به شکل ساده تر زیر بازنویسی کرد:

$$\begin{aligned}
\frac{d^2\psi}{dx^2} \psi &= q^2\psi & q &= \sqrt{\frac{2m(V_0 - E)}{\hbar^2}} \\
\frac{d^2\psi}{dx^2} \psi &= -\kappa^2\psi & k &= \sqrt{\frac{2mE}{\hbar^2}}
\end{aligned} \tag{58}$$

از آنجا که این پتانسیل زوج است ویژه توابع انرژی دارای پاریته مشخص هستند یعنی می توانیم آنها را به ویژه توابع زوج و یافرد تقسیم کنیم. جواب های زوج را با $\psi_e(x)$ و جواب های فرد را با ψ_o نشان می دهیم. جواب های زوج به شکل زیر هستند:

$$\psi_e(x) = \begin{cases} e^{qx} & x \leq -a, \\ A \cos kx & -a \leq x \leq a, \\ e^{-qx} & a \leq x. \end{cases} \tag{59}$$

شرط پیوستگی تابع موج و مشتق آن در نقطه a منجر به روابط زیر می شود:

$$\begin{aligned}
e^{-qa} &= A \cos ka \\
qe^{-qa} &= Ak \sin ka
\end{aligned} \tag{60}$$

که از تقسیم این دو برهم رابطه زیر بدست می آید:

$$\boxed{\cot ka = \frac{k}{q}} \tag{61}$$

جواب های فرد به شکل زیر هستند:

$$\psi_o(x) = \begin{cases} e^{qx} & x \leq -a, \\ B \sin kx & -a \leq x \leq a, \\ -e^{-qx} & a \leq x. \end{cases} \tag{62}$$

شرط پیوستگی تابع موج و مشتق آن در نقطه a منجر به روابط زیر می شود:

$$\begin{aligned} -e^{-qa} &= B \sin ka \\ qe^{-qa} &= Bk \cos ka \end{aligned} \quad (63)$$

که از تقسیم آن دوبرهم رابطه زیر بدست می آید:

$$\cot ka = \frac{-q}{k}. \quad (64)$$

با حل روابط 61 و 64 می توانیم مقادیر ویژه انرژی را برای چاه پتانسیل بدست آوریم. این معادلات را می بایست به روش ترسیمی حل کنیم. اما قبل از آن می بایست طرفین معادله را بر حسب یک متغیر بنویسیم. در این جا مناسب است که با تعریف متغیر $y := \sqrt{\frac{2|Ea^2}{\hbar^2}}$ و پارامتر $\lambda := \sqrt{\frac{2mV_0a^2}{\hbar^2}}$ این معادلات را به شکل زیر بنویسیم:

برای جواب های زوج :

$$\cot y = \sqrt{\frac{y^2}{\lambda^2 - y^2}}, \quad (65)$$

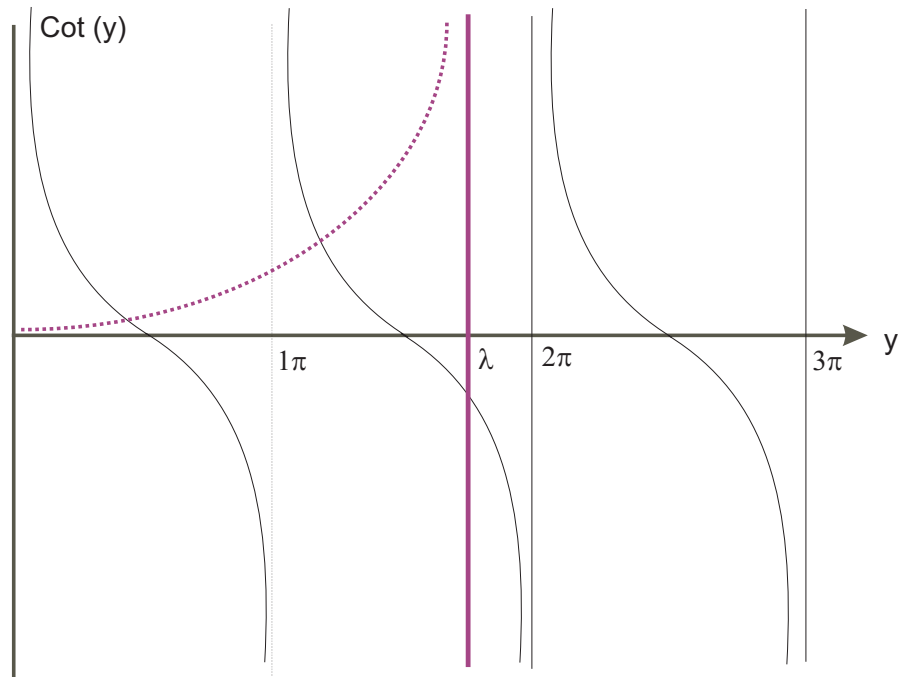
و برای جواب های فرد

$$\cot y = -\sqrt{\frac{\lambda^2 - y^2}{y^2}}. \quad (66)$$

شکل های ۸ و ۹ حل ترسیمی این معادلات را نشان می دهند. از این شکل ها به چند خاصیت مهم جواب ها پی می بریم:

۱ - با افزایش λ تعداد حالت های مقید نیز افزایش می یابد. بنابراین هرچه که عمق چاه و یا پهنای آن زیاد شود و یا اینکه جرم ذره زیاد تر باشد تعداد حالت های مقید نیز بیشتر می شود.

۲ - حالت پایه یعنی حالتی که کمترین انرژی را دارد یک حالت زوج است و بعد از آن حالت های فرد و زوج یک در میان قرار می گیرند.



شکل ۸: حل ترسیمی معادله انرژی برای جواب های زوج

۳ - هرگاه عمق و پهنای پتانسیل چنان باشد که ثابت λ از $\frac{\pi}{2}$ کمتر باشد، جواب فرد وجود ندارد. در این حالت تنها یک جواب زوج وجود دارد.

۴ - هرچه که مقدار انرژی بیشتر می شود، ضریب k بیشتر و ضریب q کمتر می شود، و در نتیجه طول موج جواب های سینوسی داخل چاه کمتر شده و عمق نفوذ آنها به درون ناحیه $V_0 \geq E$ یعنی ناحیه ای که از نظر کلاسیک ناحیه ممنوعه است نیز کمتر می شود.

۵ - واضح است که در حد $V_0 \rightarrow \infty$ بی نهایت ویژه حالت انرژی وجود دارد. در این حالت ها بدلیل اینکه $\lambda \rightarrow \infty$ ، معادلات بالا را می توان به شکل تحلیلی نیز حل کرد. در این حد معادلات بالا به شکل زیر درمی آیند:

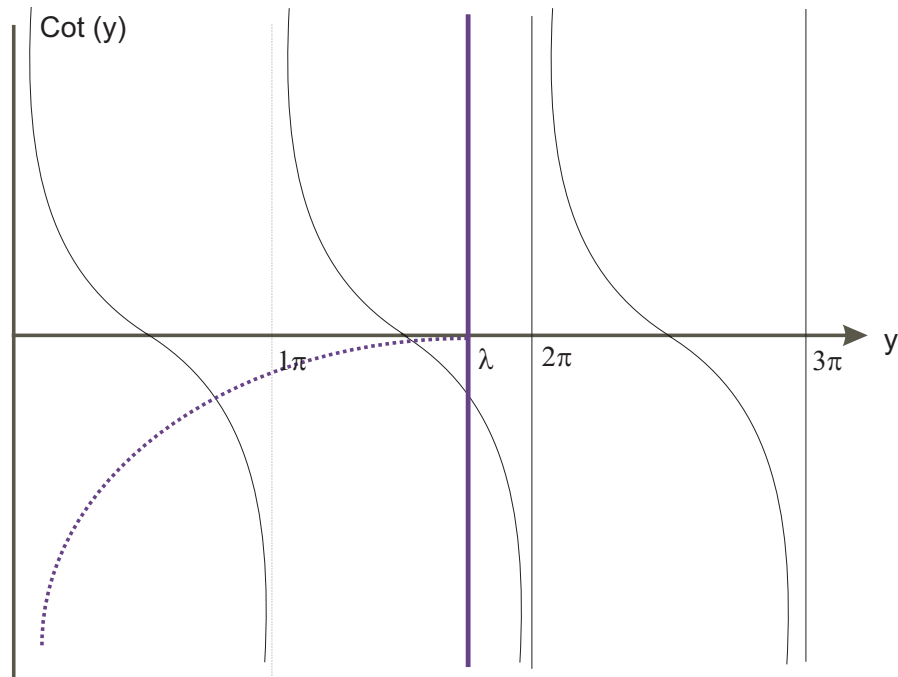
برای جواب های زوج:

$$\cot y = 0 \quad \rightarrow \quad y = \left(n + \frac{1}{2}\right)\pi \quad \rightarrow \quad E_n = \frac{\hbar^2}{2ma^2} \left(n + \frac{1}{2}\right)^2 \pi^2. \quad (67)$$

برای جواب های فرد:

$$\tan y = 0 \quad \rightarrow \quad y = n\pi \quad \rightarrow \quad E_n = \frac{\hbar^2}{2ma^2} n^2 \pi^2. \quad (68)$$

در این حد عمق نفوذ به ناحیه ممنوعه دقیقاً برابر با صفر می شود و مقدار تابع موج در دیواره های چاه پتانسیل برابر با صفر می شود.



شکل ۹: حل ترسیمی معادله انرژی برای جواب های فرد

۲.۶ ویژه حالت های نامقید

این ویژه حالت ها، حالت هایی هستند که انرژی آنها بیشتر از V_0 است. در این حالت جواب های زوج به شکل زیردرمی آیند:

$$\psi_e(x) = \begin{cases} e^{iqx} + Ce^{-iqx} & x \leq -a, \\ A \cos kx & -a \leq x \leq a, \\ e^{-iqx} + Ce^{iqx} & a \leq x. \end{cases} \quad (69)$$

که در آن

$$q = \sqrt{\frac{2m(E - V_0)}{\hbar^2}}. \quad (70)$$

در این جواب دیگر جمله e^{-iqx} در $-\infty$ واگرانی شود و می بایست آن را نگاه داشت. در نتیجه وقتی که شرایط پیوستگی تابع موج و مشتق آن را در نقطه $x = a$ می نویسیم با دو معادله و سه مجهول مواجهیم که عبارتند از (E, A, C) . این موضوع یعنی زیادتربودن تعداد مجهولات نسبت به معادلات باعث می شود که دیگر انرژی مقادیر گسسته نداشته باشد و به ازای هر مقدار پیوسته E بتوانیم مقادیر ضرایب (A, C) بدست بیاوریم. به طور صریح تر شرایط مرزی در نقطه a عبارتند از:

$$\begin{aligned} e^{-iqa} + Ce^{iqa} &= A \cos ka \\ iq(e^{-iqa} - Ce^{iqa}) &= Ak \sin ka \end{aligned} \quad (71)$$

که با کمی محاسبه منجر به روابط زیر می شود:

$$C = e^{-2iqa} \frac{iq \cos ka + k \sin ka}{iq \cos ka - k \sin ka}, \quad (72)$$

و

$$A = e^{-iqa} \frac{2iq}{iq \cos ka - k \sin ka}. \quad (73)$$

در این حالت به ازای هر مقدار انرژی $E \geq V_0$ یک تابع موج ψ_e با ضرایب فوق وجود دارد که از $-\infty$ تا ∞ در فضا گسترده است. این تابع موج در هر ناحیه به صورت ترکیبی از دو موج تخت است و در ناحیه پتانسیل به صورت یک موج ایستاده است. با توجه به اینکه $k \geq q$ ، طول موج این امواج در ناحیه درون پتانسیل کمتر از خارج پتانسیل است که ناشی از زیادتر بودن تکانه ویال انرژی جنبشی ذرات در ناحیه درون پتانسیل است.

در این حالت جواب های فرد به شکل زیر در می آیند

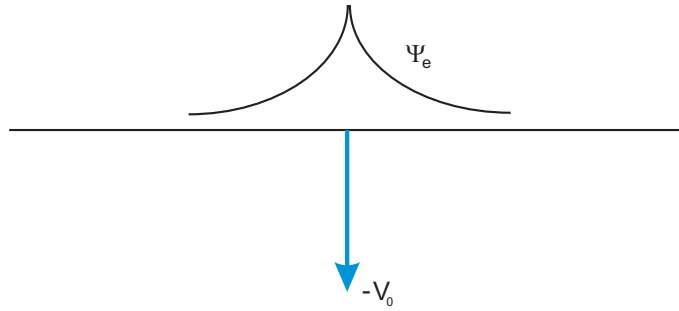
$$\psi_o(x) = \begin{cases} e^{iqx} + De^{-iqx} & x \leq -a, \\ B \sin kx & -a \leq x \leq a, \\ -e^{-iqx} - Ce^{iqx} & a \leq x. \end{cases} \quad (74)$$

شرایط مرزی در نقطه $x = a$ عبارت خواهند بود از:

$$\begin{aligned} e^{-iqa} + De^{iqa} &= -B \sin ka \\ iq(e^{-iqa} - De^{iqa}) &= kB \cos ka \end{aligned} \quad (75)$$

که با کمی محاسبه منجر به مقادیر زیر برای B و D می شود:

$$B = e^{-iqa} \frac{2iq}{k \cos ka - iq \sin ka}, \quad (76)$$



شکل ۱: چاه پتانسیل دلتا تنها یک جواب مقید زوج دارد.

و

$$D = e^{-2iqa} \frac{iq \sin ka + k \cos ka}{iq \sin ka - k \cos ka} \quad (77)$$

۷ چاه پتانسیل دلتا

در این بخش یک چاه بسیار عمیق با پهنای کم را در نظر می‌گیریم و آن را با تابع پتانسیل $V(x) = -V_0 \delta(x)$ نشان می‌دهیم. این چاه نشان دهنده یک نیروی جاذبه خیلی بزرگ با برد خیلی کوتاه است. شکل ۱ این چاه را نشان می‌دهد. از آنجا که پتانسیل زوج است می‌توانیم جواب‌های آن را به زوج و فرد تقسیم کنیم. جواب‌های زوج به شکل زیر هستند که از حل معادله آزاد شرودینگر در دوسوی پتانسیل بدست آمده‌اند

$$\psi_e(x) = \begin{cases} e^{qx} & x \leq 0, \\ e^{-qx} & 0 \leq x, \end{cases} \quad (78)$$

$$.q = \sqrt{\frac{2m|E|}{\hbar^2}}$$

مطابق با آنچه که در قضایای اول فصل گفتیم در مورد پتانسیل دلتا مشتق تابع موج نمی‌تواند پیوسته باشد ولی همچنان خود تابع موج می‌بایست پیوسته باشد. برای آنکه تفاوت مشتق را در دو طرف نقطه صفر بدست بیاوریم از معادله شرودینگر از نقطه $-\epsilon$ تا نقطه ϵ انتگرال می‌گیریم. برای این جواب‌ها داریم

$$\frac{-\hbar^2}{2m} (\psi'_e(0+) - \psi'_e(0-)) + V(0)\psi_e(0) = 0. \quad (79)$$



شکل ۱۱: چاه پتانسیل دوتایی، مدلی ساده برای یک مولکول دواتمی.

از این معادله نتیجه می‌گیریم $q = \frac{mV_0}{\hbar^2}$. بنابراین فقط یک حالت مقید زوج وجود دارد. انرژی این حالت مقید برابر است با

$$E = -\frac{\hbar^2 q^2}{2m} = -\frac{mV_0^2}{2\hbar^2}. \quad (80)$$

جواب‌های فرد به صورت زیر هستند:

$$\psi_o(x) = \begin{cases} e^{qx} & x \leq 0, \\ -e^{-qx} & 0 \leq x. \end{cases} \quad (81)$$

برای این جواب‌ها شرط مرزی به صورت زیر درمی‌آید:

$$\frac{-\hbar^2}{2m}(\psi'_o(0+) - \psi'_o(0-)) + V(0)\psi_o(0) = 0. \quad (82)$$

که از آن نتیجه می‌گیریم $V_0\psi_o = 0$ که به معنای این است که $\psi_o = 0$. بنابراین هیچ حالت مقید فردی وجود ندارد. پس نشان داده‌ایم که چاه پتانسیل $V(x) = -V_0\delta(x)$ تنها یک حالت مقید زوج را در خود نگاه می‌دارد که انرژی آن برابر است با $E = -\frac{\hbar^2 q^2}{2m} = -\frac{mV_0^2}{2\hbar^2}$.

۸ چاه پتانسیل دوگانه، مدلی برای یک مولکول دواتمی

در این بخش یک چاه پتانسیلی دلتای دوگانه را که مدل ساده‌ای برای یک مولکول دواتمی است مطالعه می‌کنیم. این پتانسیل می‌تواند نشان‌دهنده برهم‌کنش جاذبه‌ای است که یون‌های مثبت یک مولکول دواتمی برای یک الکترون دارند. تابع پتانسیل به شکل زیر است:

$$V(x) = -V_0\delta(x-a) - V_0\delta(x+a). \quad (83)$$

باید دقت کنیم که V_0 در اینجا دیمانسیون انرژی در طول دارد یعنی

$$[V_0] = [E][L]. \quad (84)$$

در نواحی بین تابع های دلتا پتانسیل صفر است و تابع موج حل معادله شرودینگر آزاد است. با توجه به زوج بودن پتانسیل جواب ها به فرد و زوج تقسیم می شوند. جواب های زوج به شکل زیر هستند:

$$\psi_e(x) = \begin{cases} e^q & x \leq -a, \\ A \cosh qx & -a \leq x \leq a, \\ e^{qx} & a \leq x. \end{cases} \quad (85)$$

پیوستگی تابع موج در نقطه $x = a$ منجر به شرط زیر می شود:

$$A \cosh qa = e^{-qa} \quad (86)$$

و ناپیوستگی مشتق نیز از رابطه زیر بدست می آید:

$$-\frac{\hbar^2}{2m}(\psi'_e(a+) - \psi'_e(a-)) - V_0\psi_e(a) = 0 \quad (87)$$

و با استفاده از معادله قبلی بدست می آوریم:

$$\frac{\hbar^2 q}{2m}(1 + \tanh qa) = V_0, \quad (88)$$

و یا

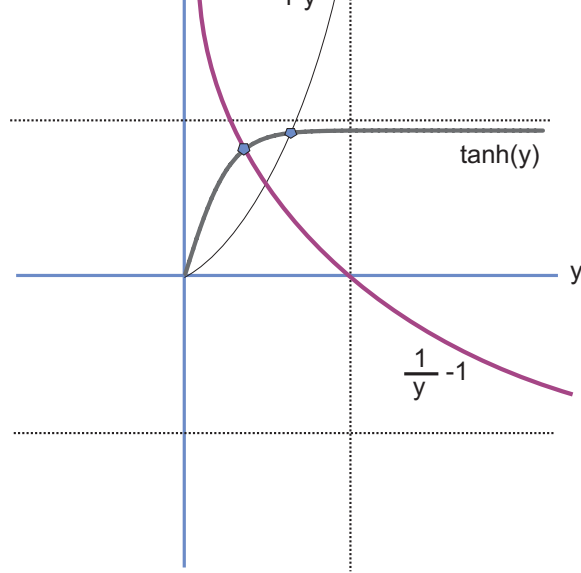
$$\tanh qa = \frac{2mV_0}{\hbar^2 q} - 1. \quad (89)$$

با تعریف پارامترهای بدون بعد $y = \frac{\hbar^2 q}{2mV_0}$ و $\lambda = \frac{2mV_0 a}{\hbar^2}$ این معادله را به شکل زیر بازنویسی می کنیم:

$$\tanh \lambda y = \frac{1}{y} - 1. \quad (90)$$

برای بدست آوردن حل های این معادله باز هم از روش ترسیمی استفاده می کنیم ولی قبل از حل آن سعی می کنیم حل های فرد را نیز بدست آوریم. برای حل های فرد داریم

$$\psi_o(x) = \begin{cases} e^q & x \leq -a, \\ B \sinh qx & -a \leq x \leq a, \\ -e^{qx} & a \leq x. \end{cases} \quad (91)$$



شکل ۲۱: حل ترسیمی معادلات ویژه مقداری چاه پتانسیل دوتایی

شرط پیوستگی تابع موج منجر به معادله زیرمی شود:

$$B \sinh qa = -e^{-qa}, \quad (92)$$

و ناپیوستگی مشتق نیز به همراه شرط بالا منجر به رابطه زیرمی شود:

$$\tanh \lambda y = \frac{y}{1-y}. \quad (93)$$

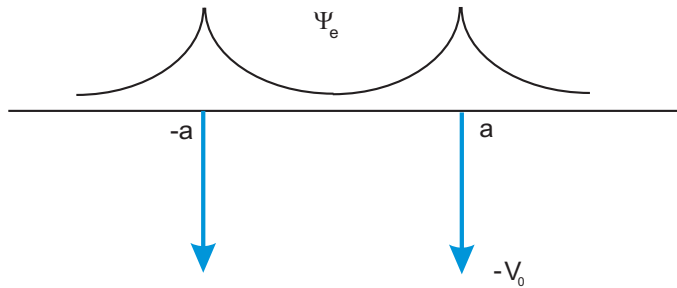
شکل ۲۱ حل ترسیمی معادلات 90 و 93 را نشان می دهد. شکل های ۳۱ و ۴۱ توابع موج زوج و فرد را برای چاه پتانسیل دوتایی دلتا نشان می دهند. از این حل ترسیمی نکات زیر را می توان آموخت:

۱ - حداکثر دو حالت مقید وجود دارد. برای این دو حالت $y_{even} \geq y_{odd}$ که به معنای آن است که $q_{even} \geq q_{odd}$ ، و یا $E_{odd} \geq E_{even}$.

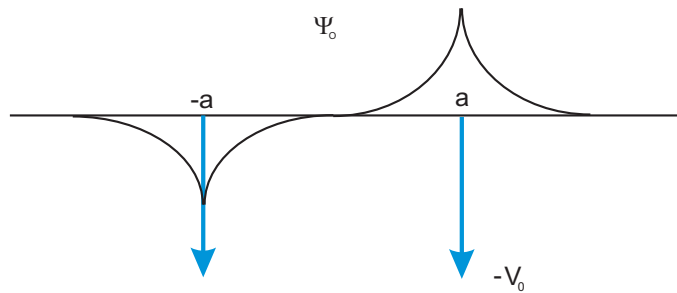
۲ - جواب زوج همواره وجود دارد ولی جواب فرد تنها وقتی وجود دارد که شیب منحنی تانژانت در نقطه صفر از یک بیشتر باشد. از آنجا که این شیب برابر با λ است، بنابراین جواب فرد تنها وقتی وجود دارد که شرط $\frac{2mV_0a}{\hbar^2} > 1$ ، بنابراین جواب فرد تنها وقتی وجود دارد که عمق پتانسیل و یا فاصله دو چاه از یکدیگر به اندازه کافی بزرگ باشد.

۳ - حال فرض کنید که حالت اولیه ذره ترکیبی خطی از دو حالت زوج و فرد باشد به این صورت که

$$\psi(x, 0) = \frac{1}{\sqrt{2}}(\psi_e(x) + \psi_o(x)). \quad (94)$$



شکل ۳۱: تابع موج زوج برای چاه پتانسیل دوتایی دلتا



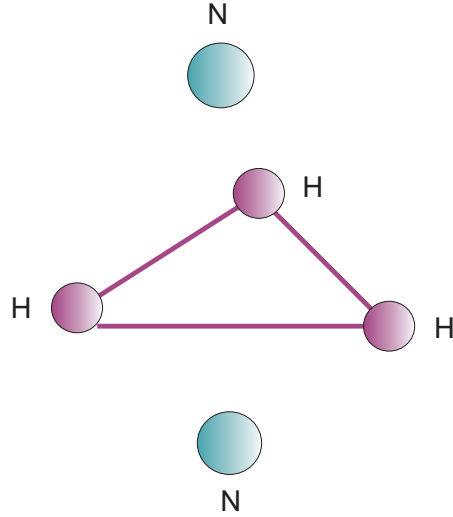
شکل ۴۱: تابع موج فرد برای چاه پتانسیل دوتایی دلتا

در این حالت ذره بیشتر در اطراف چاه پتانسیل طرف راست قرار دارد.
در این صورت تابع موج در لحظه t عبارت است از

$$\begin{aligned} \psi(x, t) &= \frac{1}{\sqrt{2}}(e^{-i\frac{E_e}{\hbar}t}\psi_e(x) + e^{-i\frac{E_o}{\hbar}t}\psi_o(x)) \\ &\equiv \frac{1}{\sqrt{2}}(\psi_e(x) + e^{-i\frac{E_o - E_e}{\hbar}t}\psi_o(x)). \end{aligned} \quad (95)$$

حال پس از گذشت زمان T که برابر است با

$$T = \frac{2\pi\hbar}{E_o - E_e} \quad (96)$$



شکل ۵۱: مولکول آمونیاک، و دو وضعیت تعادل اتم نیتروژن در آن

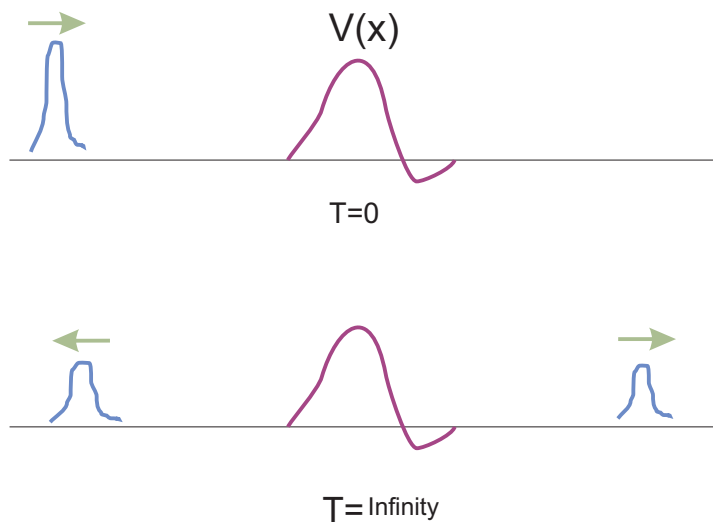
تابع موج به صورت زیر درمی آید:

$$\psi(x, 0) = \frac{1}{\sqrt{2}}(\psi_e(x) - \psi_o(x)). \quad (97)$$

که نشان دهنده آن است که ذره بیشتر در اطراف چاه پتانسیل طرف چپ قرار دارد. به این ترتیب می بینیم که ذره بین دو حالت فوق نوسان می کند و این نوسان را با پریود T انجام می دهد. مولکول آمونیاک یک سیستم فیزیکی است که در اولین تقریب توسط مدل بالا توصیف می شود. در مولکول آمونیاک با فرمول NH_3 ، اتم های هیدروژن به شکل رئوس یک مثلث در یک صفحه قرار گرفته اند. مطابق شکل ۵۱، اتم نیتروژن دو وضعیت تعادلی دارد که در دو طرف این صفحه قرار گرفته اند. این دو وضعیت تعادلی را می توان با دو چاه پتانسیل نشان داد. مطابق با آنچه که در این بخش دیده ایم، ویژه حالت های مولکول آمونیاک حالت هایی نیستند که در آن اتم نیتروژن در یکی از این چاه ها قرار گرفته باشد بلکه حالت هایی هستند که دارای پارته زوج و یا فرد هستند و در آنها احتمال یافتن اتم نیتروژن در طرفین صفحه هیدروژن ها یکسان است.

۹ مسئله پراکندگی در یک بعد

در این بخش موقتاً حالت های مقید را رها می کنیم و به مسئله پراکندگی می پردازیم. این مسئله به صورت کلاسیک به شکل زیر است. ذره ای را باتکانه یا انرژی معین به یک پتانسیل شبیه به آنچه که در شکل ۶۱ نشان داده شده است می تابانیم. این ذره مطابق به طرف پتانسیل حرکت کرده و در صورتی که انرژی آن از ارتفاع پتانسیل بیشتر باشد از آن عبور می کند و در غیر این صورت در نقطه ای مثل نقطه a متوقف می شود و برمی گردد. نقطه a نقطه بازگشت ذره یا *Turning Point* نامیده می شود. البته پراکندگی به ندرت در یک بعد صورت می گیرد و معمولاً برای حل مسئله پراکندگی می بایست صورت سه بعدی آن را در نظر گرفت. این کاری است که با معلومات کنونی ما امکان پذیر نیست و بعداً آن را به تفصیل بررسی می کنیم. در این فصل



شکل ۶۱: پراکندگی از یک پتانسیل

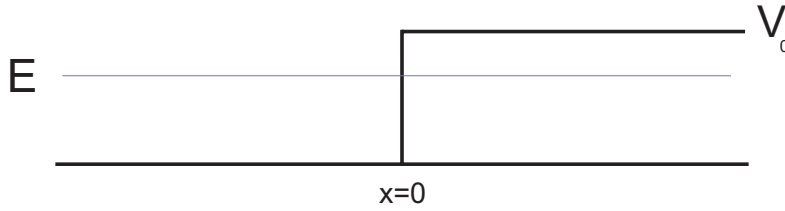
خود را به مسئله پراکندگی در یک بعد محدود می کنیم. هرگاه بخواهیم در چارچوب مکانیک کوانتومی مسئله پراکندگی در یک بعد را حل کنیم باید دقت کنیم که ذره تابنده هیچگاه بایک تکانه کاملاً دقیق مشخص نمی شود، بلکه تابع موج آن ترکیبی است از امواج تخت با طول موج های ویاتکانه های مختلف. به عبارت بهتر می بایست بسته موجی با پهنای کم و تکانه متوسط p در نظر گرفت و معادله وابسته به زمان شرودینگر را برای آن به طور کامل حل کرد. اگر این کار را به طور تحلیلی (البته بازحمت زیاد) و یا به طور عددی انجام دهیم خواهیم دید که بسته موج به طرف پتانسیل حرکت کرده ضمن حرکت پخش می شود، و پس از اصابت به پتانسیل کج و معوج شده ولی سرانجام بعد از گذشت زمان به شکل دو بسته موج کوچکتر درمی آید که یکی در همان راستای قبلی به حرکت خود ادامه می دهد و دیگری بازمی گردد. علی الاصول می توان با حل معادله شرودینگر، شکل دقیق توابع موج تابیده شده و یا عبور کرده و بازتابیده را پیدا کرد. از نظریه فیزیکی به این علاقمندیم که نسبت ذراتی که از سد پتانسیل عبور می کنند و هم چنین نسبت ذراتی که از پتانسیل بازتابیده می شوند را به کل ذرات تابیده شده پیدا کنیم. آنچه که کار ما را ساده می کند این است که این نسبت ها را می توان با محاسبه بسیار ساده تری در مقایسه با آنچه که در بالا گفته شد نیز یافت به این معنا که بجای بسته های موج از امواج تخت نیز می توانیم استفاده کنیم. می توان ثابت کرد که این نسبت ها را با یافتن ویژه توابع معادله مستقل از زمان شرودینگر نیز یافت. این ویژه توابع را چنان باید گرفت که مطابق با تصویر فیزیکی ما از مسئله پراکندگی باشد. در این بخش این کار را برای چند پتانسیل ساده انجام می دهیم.

۱۰ پتانسیل پله

شکل ۷۱ یک پله پتانسیل را نشان می دهد.

معادله شرودینگر در دو ناحیه کوچکتر از $x = 0$ و بزرگتر از $x = 0$ برای این پتانسیل به شکل زیر است:

$$-\frac{\hbar^2}{2m} \frac{d^2 \psi}{dx^2} = E\psi \quad x < 0$$



شکل ۷۱: پتانسیل پله

$$-\frac{\hbar^2}{2m} \frac{d^2\psi}{dx^2} + V_0\psi = E\psi \quad 0 \leq x. \quad (98)$$

حالت اول: $E \geq V_0$.

برای این حالت پارامترهای زیر را معرفی می کنیم:

$$k := \sqrt{\frac{2mE}{\hbar^2}}, \quad q := \sqrt{\frac{2m(E - V_0)}{\hbar^2}}. \quad (99)$$

در نتیجه معادلات بالا به شکل زیر درمی آیند:

$$\begin{cases} -\frac{d^2\psi}{dx^2} = k^2 & x < 0 \\ -\frac{d^2\psi}{dx^2} = q^2 & 0 \leq x. \end{cases} \quad (100)$$

با حل زیر:

$$\psi = \begin{cases} e^{ikx} + Re^{-ikx} & x \leq 0, \\ Te^{iqx} & \end{cases} \quad (101)$$

شرط پیوستگی تابع موج و مشتق آن در نقطه $x = 0$ منجر به روابط زیر می شود:

$$1 + R = T$$

$$ik(1 - R) = iqT, \quad (102)$$

و در نتیجه

$$T = \frac{2k}{k+q}, \quad R = \frac{k-q}{k+q}. \quad (103)$$

دقت کنید که در این حالت موج تخت بازگشتی هیچ اختلاف فازی با موج تابیده ندارد زیرا ضریب R حقیقی است. این امر ناشی از این است که انرژی ذره بیشتر از ارتفاع پتانسیل است و پتانسیل برای ذره مثل یک مانع نرم عمل می کند.

جریان های احتمال برابرند با:

$$\begin{aligned} J_{in} &= \frac{\hbar k}{m} \\ J_{ref} &= \frac{\hbar k}{m} R^2 = \frac{\hbar k}{m} \left(\frac{k-q}{k+q}\right)^2 \\ J_{tr} &= \frac{\hbar q}{m} T^2 = \frac{\hbar q}{m} \left(\frac{2k}{k+q}\right)^2. \end{aligned} \quad (104)$$

هرگاه این جریان ها را در تعداد کل ذرات تابیده یعنی N ضرب کنیم، کمیت های بدست آمده یعنی NJ_{tr} و NJ_{ref} ، NJ_{in} به ترتیب تعداد ذرات تابیده، تعداد ذرات بازتابیده و تعداد ذرات عبور کرده را در واحد زمان نشان می دهند. نتایج بالا نشان می دهند که

$$J_{in} = J_{ref} + J_{tr}. \quad (105)$$

این معادله نشان دهنده پایسته بودن تعداد ذرات یا پایسته بودن احتمال است.

هم چنین دیده می شود که هرچه انرژی ورودی ذرات بیشتر شود، نسبت $\frac{k}{q}$ به سمت یک میل می کند و در نتیجه $T \rightarrow 1$ و $R \rightarrow 0$. این نتیجه باشهود فیزیکی ما نیز سازگار است زیرا در این حالت ذرات پراثری، حضور پتانسیل را حس نمی کنند. در حدی که انرژی E به V_0 نزدیک می شود، یعنی در حد برخورد خراشی، داریم $q \rightarrow 0$ ، $T \rightarrow 2$ و $R \rightarrow 1$. این امر به این معناست که همه ذرات پس از برخورد خراشی با پتانسیل برمی گردند، اما اینکه $|T|^2$ برابر با 4 است به این معنایست که جریان عبورکننده ذرات نیز زیاد شده است زیرا این جریان متناسب با q و در نتیجه برابر با صفر است.

حالت دوم: $E \leq V_0$.

برای این حالت پارامترهای زیر را معرفی می کنیم:

$$k := \sqrt{\frac{2mE}{\hbar^2}}, \quad q := \sqrt{\frac{2m(V_0 - E)}{\hbar^2}}. \quad (106)$$

در نتیجه معادلات بالا به شکل زیر درمی آیند:

$$\begin{cases} -\frac{d^2\psi}{dx^2} = k^2 & x < 0 \\ \frac{d^2\psi}{dx^2} = q^2 & 0 \leq x. \end{cases} \quad (107)$$

با حل زیر:

$$\psi = \begin{cases} e^{ikx} + Re^{-ikx} & x \leq 0, \\ Te^{-qx} & \end{cases} \quad (108)$$

شرط پیوستگی تابع موج و مشتق آن در نقطه $x = 0$ منجر به روابط زیر می شود:

$$\begin{cases} 1 + R = T \\ ik(1 - R) = -qT, \end{cases} \quad (109)$$

و در نتیجه

$$T = \frac{2ik}{ik - q}, \quad R = \frac{ik + q}{ik - q}. \quad (110)$$

در این حالت داریم $|R|^2 = 1$ و $|T|^2 = \frac{4k^2}{k^2 + q^2}$ و جریان های مختلف به شکل زیر درمی آیند:

$$\begin{cases} J_{in} = \frac{\hbar k}{m} \\ J_{ref} = \frac{\hbar k}{m} R^2 = J_{in} \\ J_{tr} = 0. \end{cases} \quad (111)$$

در این حالت موج بازگشتی نسبت به موج تابیده دارای یک اختلاف فاز است . در واقع داریم

$$\psi_{in} = e^{ikx}, \quad \psi_{ref} = Re^{-ikx} = e^{-ikx - i\phi} \quad (112)$$

که در آن

$$\phi = \tan^{-1}\left(\frac{2kq}{k^2 - q^2}\right) = \tan^{-1}\left(\frac{2\sqrt{E(V - E)}}{2E - V}\right). \quad (113)$$

بنابراین ذره پس از برخورد با پتانسیل حتماً برمی گردد و هیچگاه از پتانسیل نمی تواند عبور کند. با این وجود دامنه احتمال آن در ناحیه ای که از نظر کلاسیک ممنوع بود، برابر با صفر نیست. در این ناحیه ممنوعه انرژی کل ذره از انرژی پتانسیل آن کمتر است و به نظری رسد که انرژی جنبشی ذره منفی است. می توان پرسید که اگر چنین ذره ای را مشاهده کنیم چگونه می توانیم انرژی جنبشی منفی آن را توضیح دهیم. پاسخ این است که هرگاه بخواهیم چنین ذره ای را مشاهده کنیم مجبوریم آنقدر به آن انرژی بدهیم که انرژی جنبشی آن مثبت شود. برای فهم این موضوع به این نکته توجه می کنیم که مشاهده کردن این ذره در ناحیه ای به طول تقریبی $\frac{1}{q}$ ، نیازمند تاباندن نوری به آن است که طول موج آن بمراتب کمتر از $\frac{1}{q}$ باشد زیرا در غیر این صورت نور تابیده شده نمی تواند ذره را آشکار کند. بنابراین اگر طول موج فوتون های تابیده شده به این ذره را λ بگیریم می بایست داشته باشیم

$$\lambda < \frac{1}{q}. \quad (114)$$

اگر تکانه فوتون را با P نشان دهیم این رابطه به این معناست که

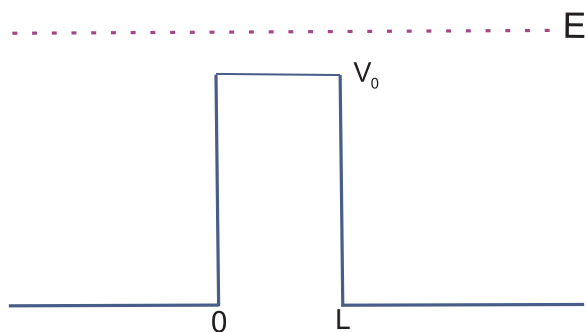
$$P = \frac{h}{\lambda} > hq. \quad (115)$$

بنابراین انرژی داده شده به ذره از مرتبه $\Delta E \approx \frac{(hq)^2}{2m} = V_0 - E$ خواهد بود. در نتیجه انرژی ذره پس از برخورد از مقدار $E + \Delta E \approx V_0$ بیشتر خواهد بود. این امر به این معناست که هرگاه بخواهیم ذره را در ناحیه ممنوعه مشاهده کنیم ناگزیر می بایست آن را به بالای پتانسیل بیاوریم و مشاهده کنیم که در این صورت انرژی جنبشی آن مثبت خواهد بود.

۱۱ سد پتانسیل مربعی

شکل ۸۱ یک سد پتانسیل مربعی را نشان می دهد. این پتانسیل را می توان تقریبی از یک پتانسیل دافعه واقعی با برد تقریبی $\frac{L}{2}$ در نظر گرفت. هدف ما مطالعه مسئله پراکندگی از این سد پتانسیل است. می خواهیم ضرایب عبور و انعکاس را بر حسب انرژی ذرات تابیده و مشخصات پتانسیل بدست آوریم.

حالت اول: $E > V_0$:



شکل ۸۱: سد پتانسیل

نخست حالتی را بررسی می کنیم که انرژی ذرات از ارتفاع سد بیشتر است. در این حالت داریم

$$\psi(x) = \begin{cases} e^{ikx} + Re^{-ikx} & x \leq 0, \\ Ae^{iqx} + Be^{-iqx} & 0 \leq x \leq L, \\ Te^{ikx} & L \leq x. \end{cases} \quad (116)$$

شرایط مرزی در نقطه $x = 0$ عبارتند از:

$$\begin{aligned} 1 + R &= A + B \\ ik(1 - R) &= iq(A - B). \end{aligned} \quad (117)$$

شرایط مرزی در نقطه $x = L$ نیز برابرند با:

$$\begin{aligned} Ae^{iqL} + Be^{-iqL} &= Te^{ikL} \\ iq(Ae^{iqL} - Be^{-iqL}) &= ikTe^{ikL}. \end{aligned} \quad (118)$$

با حذف R از معادلات 117 و هم چنین T از معادلات 170 به دو معادله زیر برای ضرایب A و B می رسیم:

$$(k + q)A + (k - q)B = 2$$

$$e^{iqL}(k-q)A + e^{-iqL}(k+q)B = 0. \quad (119)$$

باحل این دو معادله ضرایب A و B بدست می آیند:

$$\begin{aligned} A &= 2e^{-iqL} \frac{k+q}{4q \cos qL - 2ik(1 + \frac{q^2}{k^2}) \sin qL} \\ B &= -2e^{iqL} \frac{k-q}{4q \cos qL - 2ik(1 + \frac{q^2}{k^2}) \sin qL}. \end{aligned} \quad (120)$$

با جایگذاری این ضرایب در معادلات 119، 170 ضرایب R و T بدست می آیند. خواهیم داشت:

$$R = \frac{(k^2 - q^2) \sin qL}{(k^2 + q^2) \sin qL + 2i q k \cos qL}, \quad (121)$$

و

$$T = e^{-ikL} \frac{2i q k}{(k^2 + q^2) \sin qL + 2i q k \cos qL}. \quad (122)$$

در نتیجه ضرایب انعکاس و عبور به ترتیب زیر بدست می آیند:

$$|R|^2 = \frac{(k^2 - q^2)^2 \sin^2 qL}{(k^2 + q^2)^2 \sin^2 qL + 4q^2 k^2 \cos^2 qL}, \quad (123)$$

$$|T|^2 = \frac{4q^2 k^2}{(k^2 + q^2)^2 \sin^2 qL + 4q^2 k^2 \cos^2 qL}. \quad (124)$$

کمیت $|R|^2$ در واقع نسبت تعداد ذرات منعکس شده به ذرات تابیده و کمیت $|T|^2$ نسبت ذرات عبور کرده به ذرات تابیده را نشان می دهند. نخست به مطالب زیر توجه می کنیم:

۱ - یک محاسبه ساده نشان می دهد که شرط زیر همواره برقرار است

$$|R|^2 + |T|^2 = 1, \quad (125)$$

که به معنای بقای تعداد ذرات است.

۲ - هرگاه $E \gg V_0$ ، آنگاه $q \approx k$ و در نتیجه $|R|^2 \approx 0$ و $|T|^2 \approx 1$. این نتیجه از نظر فیزیکی نیز مورد انتظار است زیرا ذرات پرانرژی سد پتانسیل را حس نمی کنند.

۳ - هرگاه $E = V_0$ ، آنگاه $q = 0$. در این حالت یعنی درحد برخورد های خراشی ضرایب بالا به صورت زیر درمی آیند:

$$|R|^2 = \frac{k^2 L^2}{4 + k^2 L^2} = \frac{1}{1 + \left(\frac{\lambda}{\pi L}\right)^2}$$

$$|T|^2 = 1 - |R|^2 = \frac{\left(\frac{\lambda}{\pi L}\right)^2}{1 + \left(\frac{\lambda}{\pi L}\right)^2}, \quad (126)$$

که در آن از تعریف $k^2 = \frac{2mE}{\hbar^2}$ استفاده کرده ایم و بجای تکانه ذرات ورودی نیز از رابطه $\lambda = \frac{h}{p} = \frac{h}{\sqrt{2mE}}$ استفاده کرده ایم.

۴ - ضرایب عبور و انعکاس هر دو توابعی تناوبی از پهنای چاه هستند. به این معناکه

$$|T|^2\left(L + \frac{2\pi}{q}\right) = |T|^2(L), \quad |R|^2\left(L + \frac{2\pi}{q}\right) = |R|^2(L). \quad (127)$$

هرگاه شرط $qL = n\pi$ برقرار باشد بدست می آوریم:

$$|R|^2 = 0, \quad |T|^2 = 1. \quad (128)$$

هرگاه شرط $qL = \left(n + \frac{1}{2}\right)\pi$ برقرار باشد بدست می آوریم:

$$|R|^2 = \left(\frac{k^2 - q^2}{k^2 + q^2}\right)^2 = \left(\frac{V_0}{2E - V_0}\right)^2$$

$$|T|^2 = \frac{4q^2 k^2}{(k^2 + q^2)^2} = \frac{4E(E - V_0)}{(2E - V_0)^2}. \quad (129)$$

این نتایج از نظر فیزیکی نیز قابل توضیح هستند.

حالت دوم: $0 \leq E \leq V_0$ در این حالت کافی است که در روابط 121، 122 جایگزینی زیر را انجام دهیم:

$$q \longrightarrow iq, \quad q = \frac{2m(V_0 - E)}{\hbar^2}. \quad (130)$$

با این جایگزینی خواهیم داشت:

$$R = \frac{(k^2 + q^2) \sinh qL}{(k^2 - q^2) \sinh qL + 2iqk \cosh qL}, \quad (131)$$

و

$$T = e^{-ikL} \frac{2ikk}{(k^2 - q^2) \sinh qL + 2ikk \cosh qL}. \quad (132)$$

در این حالت ضرایب انعکاس و عبور برابر خواهند بود با:

$$|R|^2 = \frac{(k^2 + q^2)^2 \sinh^2 qL}{(k^2 - q^2)^2 \sinh^2 qL + 4q^2 k^2 \cosh^2 qL}, \quad (133)$$

و

$$|T|^2 = \frac{4q^2 k^2}{(k^2 - q^2)^2 \sinh^2 qL + 4q^2 k^2 \cosh^2 qL}. \quad (134)$$

غیر صفر بودن ضریب عبور به این معنی است که ذره با احتمالی می تواند علیرغم کمتر بودن انرژی اش از سد پتانسیل، از این ناحیه ممنوعه عبور کند. این پدیده را تونل زنی می گویند و شواهد متعددی برای درستی آن از نظرتجربی وجود دارد. چند نکته در مورد ضرایب عبور و بازگشت جالب توجه اند:

۱ - در این حالت هیچ کدام از ضرایب عبور و یا انتقال تابع تناوبی بر حسب پهنای پتانسیل نیستند، بلکه با افزایش پهنای پتانسیل ضریب عبور به سمت صفر میل کرده و ضریب بازگشت به سمت یک میل می کند.

۲ - در حد انرژی های بسیار کم یعنی $E \rightarrow 0$ ، یا $k \rightarrow 0$ ، خواهیم داشت $|R|^2 \rightarrow 1$ ، $|T|^2 \rightarrow 0$ که این نتیجه با شهود فیزیکی مانیز سازگار است.

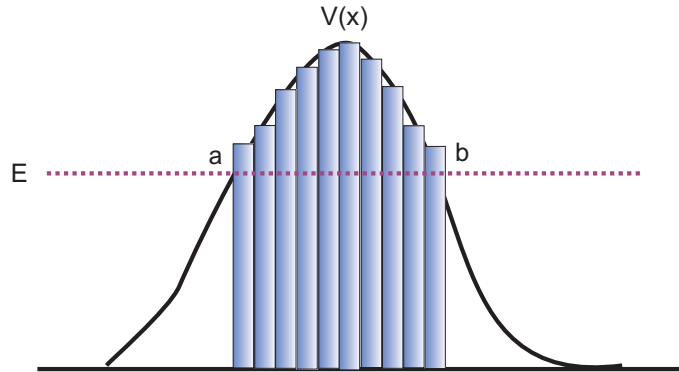
۳ - در حدی که ارتفاع سد نسبت به انرژی ذره خیلی زیاد باشد، به عبارت دقیق تری که شرط $qL = \sqrt{\frac{2m(V_0 - E)}{\hbar^2}} L \gg 1$ برآورده شود، می توان ضریب عبور را به صورت زیر تقریب زد:

$$|T|^2 \approx \frac{16q^2 k^2}{(k^2 + q^2)^2} e^{-2qL} = \left(\frac{4qk}{k^2 + q^2}\right)^2 e^{-2qL}. \quad (135)$$

در نتیجه

$$\log |T|^2 = 2 \log\left(\frac{4qk}{k^2 + q^2}\right) - 2qL \approx -2qL = -2\sqrt{\frac{2m(V_0 - E)}{\hbar^2}} L. \quad (136)$$

این نتیجه برای یک سد پتانسیل مربعی بدست آمده است. حال اگر یک سد پتانسیل دلخواه داشته باشیم که ذرات کم انرژی به آن می تابند می توانیم سد پتانسیل را به صورت دنباله ای از سد های پتانسیل مربعی با ارتفاع های متفاوت و پهنای



شکل ۹۱: محاسبه تونل زنی از یک پتانسیل دلخواه

یکسان Δx در نظر گرفته و با ضرب کردن ضرایب عبور از هر کدام از این سد های مربعی ضریب عبود کلی را بدست آوریم. در نتیجه

$$\log |T|^2 \approx -2 \sum_x q(x) \Delta x = -2 \int_a^b \sqrt{\frac{2m(V(x) - E)}{\hbar^2}} dx, \quad (137)$$

و در نتیجه

$$|T|^2 \approx e^{-2 \int_a^b dx \sqrt{\frac{2m(V(x) - E)}{\hbar^2}}}. \quad (138)$$

که در آن حدود انتگرال یعنی a و b نقاطی هستند که شرط $V(a) = V(b) = E$ برآورده می شود. این نقاط در شکل (۹۲) نشان داده شده اند. عبارت بالا تقریب خوبی برای محاسبه احتمال تونل زنی از یک سد پتانسیل دلخواه است.

در زیر بخش بعدی مثال هایی از پدیده تونل زنی را مطالعه می کنیم.

۱۲ مثالهایی از پدیده تونل زنی

۱.۱۲ کندن الکترون از فلز

یک قطعه فلز از کنار هم قرار گرفتن تعداد زیادی بلورهای خالص با ابعاد کوچک در حدود میکرون یا میلی متر تشکیل شده است. هر میکرو بلور ساختمان هندسی کاملاً منظمی دارد که از تکرار یک سلول در فضای سه بعدی تشکیل شده است. شکل هندسی سلول بستگی به نوع فلز دارد. میکرو بلورها از یکدیگر با صفحاتی که نظم بلوری را به هم می زنند جدا می شوند. هر قطعه بلور خالص از یون های مثبتی تشکیل شده است که در آرایه ای سه بعدی مرتب شده اند. هر کدام از این یون ها یک یا چند الکترون آزاد کرده اند. این الکترون ها در محیط سه بعدی تقریباً آزاد هستند و به هیچ یون خاصی وابسته نیستند. در اولین تقریب می

توان از برهم کنش الکترون ها بایکدیگر نیز صرف نظر کرد. تنها چیزی که الکترون ها رامقید می کند دیواره های فلز است و الکترون ها با وجودی که آزاد هستند نمی توانند از محیط فلز فرار کنند. بنابراین در ساده ترین تقریب می توان محیط فلز را مثل یک چاه پتانسیل سه بعدی و عمیق در نظر گرفت که ابعاد آن با ابعاد فلز برابر است. در درس فیزیک حالت جامد خواننده می تواند توصیف دقیق تری از ساختمان فلز و حرکت الکترون ها درون آن را دنبال کند. با این وجود بسیاری از خواص مهم فلز را با همین تصویر ساده نیز می توان فهمید. در این جا بازم برای تطابق با عنوان این درس و برای سادگی فلز را یک بعدی در نظر می گیریم و آن را با یک چاه پتانسیل به عمق V_0 و پهنای L نشان می دهیم. سطوح انرژی یک الکترون به جرم بعدی $m = 9.11 \times 10^{-31}$ در این چاه که ابعاد آن برای یک بلور خالص از مرتبه $L \approx 10^{-3} m$ می گیریم از مرتبه

$$\epsilon \approx \frac{\hbar^2}{2m} \frac{1}{L^2} \approx \frac{10^{-68}}{10^{-30}} \times 10^6 \approx 10^{-32} \text{ Joule} \approx 10^{-13} \text{ electron volt} \quad (139)$$

است. برای کندن یک الکترون از سطح فلز به اشعه x یا فرابنفش احتیاج داریم که طول موج آن از مرتبه چند ده آنگستروم است. انرژی این فوتون ها از مرتبه زیر است

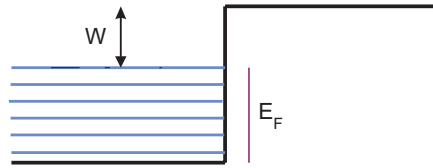
$$h\nu \approx \hbar \frac{c}{\lambda} \approx \frac{10^{-34} \times 10^8}{10 \times 10^{-10}} \approx 10^{-17} \text{ Joule} \approx 100 \text{ electron volt} \quad (140)$$

است. بنابراین در مقایسه باترازهای انرژی یک الکترون عمق چاه بسیار بسیار بزرگ است و مامی توانیم برای محاسبه سطوح انرژی الکترون در چاه، عمق چاه را عملاً بی نهایت بگیریم. برای چنین چاهی می دانیم که سطوح انرژی تنها بایک عدد کوانتومی مشخص می شوند و عبارتند از:

$$\epsilon_n = \frac{\hbar^2}{2m} \left(\frac{n\pi}{L} \right)^2. \quad (141)$$

برای ادامه بحث می بایست به اصل طرد پاولی اشاره کنیم. این اصل که ناشی از تلفیق مکانیک کوانتومی و نسبیت خاص است بیان می کند که ذراتی که اسپین آنها نیمه صحیح است مثل الکترون که اسپین آن $\frac{1}{2}$ است نمی توانند ترازهای انرژی یکسانی اشغال کنند و هر کدام از آنها می بایست در یک تراز انرژی قرار بگیرد. این خاصیت را اصل طرد پاولی می خوانیم. شکل دقیق این اصل را در درس های آینده خواهیم آموخت. بنابراین در درون چاه در هر سطح انرژی ϵ_n تنها یک الکترون قرار خواهد گرفت. از آنجا که در حالت تعادل بلور فلزی مثل هر سیستم دیگری تمایل دارد که به کمترین انرژی خود برسد، الکترون ها سطوح انرژی را از پایین به بالا اشغال می کنند (شکل ۵۲). بالاترین سطح انرژی که اشغال می شود سطح فرمی نام دارد و با E_F نشان داده می شود. در یک بعد انرژی فرمی را براحتی می توان بدست آورد. از آنجا که سطح انرژی فرمی E_F توسط N امین الکترون اشغال شده است داریم

$$E_F = \frac{\hbar^2}{2m} \left(\frac{\pi}{L} \right)^2 N^2. \quad (142)$$



شکل ۰۲: سطوح انرژی الکترون ها درغیاب میدان الکتریکی - تمام سطوح انرژی تازیرتر از فرمی پرهستند.

بنابراین سطح انرژی فرمی توسط چگالی الکترون ها درفلز تعیین می شود. بهتراست تخمینی از سطح انرژی فرمی داشته باشیم.

هرگاه یون ها که به فاصله ای از مرتبه یک آنگستروم از یکدیگر جدا شده اند هرکدام یک الکترون به محیط فلز واگذارکنند چگالی الکترون ها برابر با $10^{10} m^{-3}$ خواهد بود. بنابراین برای یک فلز انرژی فرمی از مرتبه زیراست

$$E_F \approx \frac{10^{-68}}{10^{-30}} 10^{20} \approx 10^{-18} \text{ Joule} \approx 10 \text{ electron volt.} \quad (143)$$

آیا ممکن است که بعضی از ترازهای زیرسطح فرمی خالی باشند و درعوض الکترون ها بعضی از ترازهای بالاتر از سطح فرمی را اشغال کرده باشند؟ الکترون هائی که در اثر برهم کنش با یکدیگر و یا برخورد با یون ها و یا تابش اشعه خارجی و هم چنین در اثر اختلافات گرمایی به سطوح خالی بالاتر از سطح فرمی صعود کنند. دردمای معمولی اتاق که آن را در حدود $300 K^\circ$ می گیریم

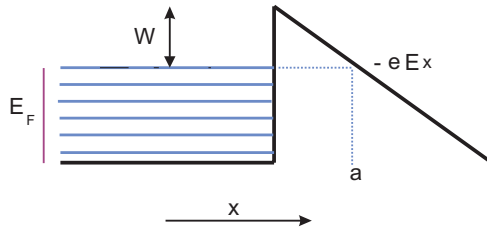
میزان انرژی گرمایی از مرتبه

$$kT \approx 1.38 \times 10^{-23} \times 300 \approx 4 \times 10^{-21} \text{ Joule} \approx 3 \times 10^{-2} \text{ electron volt} \quad (144)$$

است که یک هزارم انرژی فرمی است. به همین دلیل الکترون های سطوح زیرین در اثر اختلافات گرمایی معمول نمی توانند به بالای سطح فرمی صعود کنند. دردمای معمولی اتاق تنها تعداد کمی از الکترون های نزدیک سطح فرمی به سطوح بالاتر تحریک می شوند.

هرگاه عمق چاه را V_0 و سطح انرژی فرمی را E_f بگیریم تفاوت این دو یعنی $V_0 - E_f$ عبارت است از مقدار انرژی که برای کندن الکترون های نزدیک سطح فرمی از فلز لازم است. این مقدار انرژی همان چیزی است که به آن تابع کار می گوئیم و آن را با W نشان می دهیم. بنابراین $W = V_0 - E_f \approx 100 \text{ ev}$.

حال نشان می دهیم که چگونه در اثر اعمال یک میدان الکتریکی در نزدیکی یک فلز می توان امکان تونل زنی برای الکترون های نزدیک سطح فرمی را فراهم کرده و آن ها را از چاهی که در آن گیر افتاده اند آزاد کرد. شکل ۱۲ انرژی پتانسیل را در حضور میدان الکتریکی در نزدیکی فلز نشان می دهد. لبه سمت راست چاه در نقطه $x = 0$ قرار دارد. میدان الکتریکی در ناحیه



شکل ۱۲: سطوح انرژی الکترون ها در حضور میدان الکتریکی - الکترون های نزدیک تراز فرمی به خارج از فلز تونل می زنند.

$x > 0$ تعریف شده است و جهت آن نیز روبه طرف چپ است. پتانسیل الکتریکی که این میدان ایجاد می کند برابر است با $\phi(x) = Ex$. E را اندازه میدان گرفته ایم. بنابراین انرژی یک الکترون در این میدان برابر است با $V(x) = -eEx$. در نتیجه چاه پتانسیل به صورت زیر تغییر شکل می دهد:

$$V(x) = \begin{cases} V_0 & x \leq 0, \\ 0 & 0 \leq x \leq L, \\ V_0 - eEx & L \leq x. \end{cases} \quad (145)$$

حال الکترون های نزدیک سطح فرمی می توانند از این پتانسیل به سمت راست تونل بزنند و از فلزها شوند. از روی شکل معلوم است که $V_0 - eEa = E_F$ و یا $a = \frac{W}{eE}$.

احتمال تونل زنی الکترونی که انرژی آن برابر با E_F است، یعنی الکترونی که در نزدیکی سطح فرمی است برابر است با

$$|T|^2 = e^{-2 \int_0^a dx \sqrt{\frac{2m}{\hbar^2}(V(x) - E_F)}} = e^{-2 \int_0^a dx \sqrt{\frac{2m}{\hbar^2}(V_0 - eEx - E_F)}} = e^{-2 \int_0^a dx \sqrt{\frac{2m}{\hbar^2}(W - eEx)}}. \quad (146)$$

بامحاسبه این انتگرال احتمال تونل زنی برابر می شود با:

$$|T|^2 = e^{-\frac{4}{3} \sqrt{\frac{2m}{\hbar^2}} \frac{W^{\frac{3}{2}}}{eE}}. \quad (147)$$

این رابطه به رابطه *Fowler - Nordheim* مشهور است.

بیا بید تخمین بزنیم که برای یک میدان الکتریکی متعارف از قبیل 100 volt m^{-1} احتمال تونل زنی چقدر است؟ برای این محاسبه تابع کار را برابر با 100 ev می گیریم. در نتیجه با جایگذاری مقادیر عددی و صرف نظر کردن از ضرایبی که از مرتبه ۱

هستند خواهیم داشت:

$$|T|^2 \approx \exp\left(-\frac{4}{3}\sqrt{\frac{2m}{\hbar^2}}\frac{W^{\frac{3}{2}}}{eE}\right) \approx \exp\left(-\sqrt{\frac{10^{-30}}{10^{-68}}}\frac{(100 \times 10^{-19})^{3/2}}{10^{-19} \times 100}\right) \approx \exp(-10^{11}). \quad (148)$$

این عدد به اندازه غیرقابل تصویری کوچک است. در واقع عددی است که حدود 10^{11} میلیارد صفر بعد از ممیز دارد. البته باید دقت کرد که یک الکترون در یک ثانیه بارها و بارها به دیواره پتانسیل برخورد می کند. هم چنین در درون فلز الکترون های بسیاری در نزدیک سطح فرمی وجود دارند که می توانند این تونل زنی را انجام دهند. این دو کمیت را تخمین می زنیم. سرعت الکترون درون فلز از مرتبه 10^6 $v \approx \sqrt{\frac{2E_F}{m}} \approx \sqrt{\frac{10 \times 10^{-19}}{10^{-30}}} \approx 10^6$ متر بر ثانیه است. هرگاه ابعاد میکرو بلور را یک میلی متر یا 10^{-3} متر بگیریم، می توانیم تخمین بزنیم که در یک ثانیه یک الکترون چند بار به دیواره چاه پتانسیل برخورد می کند. این تعداد از مرتبه زیر است:

$$n \approx \frac{v}{2L} \approx \frac{10^6}{10^{-3}} \approx 10^9. \quad (149)$$

حتی اگر تعداد الکترون هایی را که در نزدیک سطح فرمی قرار دارند و امکان تونل زنی دارند عددی از مرتبه 10^{10} هم بگیریم باز با توجه به کوچکی بی اندازه $|T|^2$ جریانی که بدست می آید تقریباً برابر با صفر است. برای یک جریان قابل ملاحظه می بایست یا میدان الکتریکی فوق العاده بزرگ باشد و یا اینکه فاصله a خیلی کم باشد. اگرچه نمی توان میدان های فوق العاده قوی ای آنچنان ایجاد کرد که ضریب احتمال $|T|^2$ قابل ملاحظه شود، ولی می توان شرایطی ایجاد کرد که در آن فاصله تونل زنی یعنی a بسیار کم شود. برای این کار می توان سطح صیقلی دوفلز را بالای ای از اکسید به هم چسپاند. ضخامت لایه اکسید در آزمایشی از این نوع بالای های $Ni - NiO - Pb$ در حدود 50 آنگستروم است. قبل از اعمال میدان الکتریکی سطوح انرژی دوفلز به ترتیب نشان داده شده در شکل ۲۲ هستند. از آنجا که سطوح فرمی در هر دو فلز هم تراز هستند در غیاب میدان الکتریکی هیچ نوع تونل زنی اتفاق نمی افتد. بعد از اعمال میدان الکتریکی سطوح انرژی به صورت نشان داده شده در شکل ۳۲ درمی آیند.

در نتیجه احتمال تونل زنی برابر است با:

$$|T|^2 \approx e^{-2 \int_0^a dx \sqrt{\frac{2m}{\hbar^2}(V(x)-E_F)}} = e^{-2 \int_0^a dx \sqrt{\frac{2m}{\hbar^2}(W-eEx)}} \\ = e^{-2 \sqrt{\frac{2mW}{\hbar^2}} \int_0^a dx \sqrt{1-\frac{eE}{W}x}} = e^{-2 \sqrt{\frac{2mW}{\hbar^2}} \int_0^a dx \sqrt{1-\frac{x}{a_0}}} = e^{-\frac{4}{3} \sqrt{\frac{2mW}{\hbar^2}} a_0 (1-(1-\frac{a}{a_0})^{\frac{3}{2}})}. \quad (150)$$

که در آن $a_0 := \frac{W}{eE}$. از آنجا که برای یک میدان الکتریکی متعارف، $a \ll a_0$ ، می توانیم بنویسیم

$$|T|^2 \approx e^{-2 \sqrt{\frac{2mW}{\hbar^2}} a} \quad (151)$$

برای مقادیر

$$W \approx 10 \text{ eV} \approx 10^{-17} \text{ Joule}, \quad a \approx 50 \text{ \AA} = 5 \times 10^{-9} \text{ meter}, \quad m \approx 10^{-30} \text{ Kg}, \quad (152)$$



شکل ۲۲: سطوح انرژی الکترون های دو فلز در غیاب میدان الکتریکی - سطوح فرمی در دو فلز هم تراز هستند.

بدست می آوریم

$$|T|^2 \approx e^{-40}. \quad (153)$$

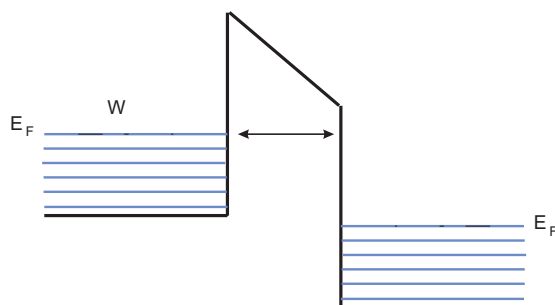
حال می توانیم جریانی را که از این تونل زنی حاصل می شود حساب کنیم. اگر تعداد دفعاتی را که الکترون به دیواره پتانسیل برخورد می کند را مطابق با محاسبات قبلی برابر با $n \approx 10^9 \text{ s}^{-1}$ قرار دهیم و تعداد الکترون هایی را که تونل زنی انجام می دهند برابر با $r = 10^{10}$ قرار دهیم، جریانی که بدست می آید برابر خواهد بود با

$$I \approx |T|^2 n e r \approx e^{-40} \times 10^9 \times 10^{10} \approx 10^{-17} \times 10^{-19} \times 10^{19} = 10^{-17} \text{ Amp} = 10^{-11} \mu\text{Amp}. \quad (154)$$

همانطور که مشاهده می شود مقدار این جریان بسیار کوچک است.

۲.۱۲ واپاشی آلفا

یکی دیگر از پدیده هایی که تونل زنی در آنها نقش ایفا می کند واپاشی هسته های سنگین رادیواکتیو از طریق گسیل خودبخودی ذرات آلفاست. یک ذره آلفا یا هسته هلیوم از دونوترون و دو پروتون تشکیل شده است. بدون اینکه بخواهیم به جزئیات نیروهای بین اجزای هسته پردازیم می خواهیم بایک مدل ساده گسیل خودبخود ذرات آلفا را از هسته های سنگین مطالعه کنیم. می خواهیم بدانیم احتمال گسیل یک ذره آلفا در یک مدت زمان معین از یک هسته چقدر است؟ براساس پاسخ به این سوال می خواهیم نیمه عمر آن هسته را تخمین بزنیم. می دانیم که نیروی هسته ای فوق العاده قوی و درعین حال بسیار کوتاه برد است. بنابراین می توانیم تصور کنیم که ذره آلفا در درون یک چاه بسیار عمیق و پهنای کم گیر افتاده است. از آنجا که عمق چاه بی



شکل ۳۲: سطوح انرژی الکترون های دوفلز در حضور میدان الکتریکی - الکترون های نزدیک سطح فرمی از یک فلز به فلز دیگر تونل می زنند.

نهایت نیست این ذره می تواند با احتمالی از دیواره های چاه به بیرون تونل بزند و از چاه بگریزد. البته به محض بیرون آمدن از چاه این ذره گرفتار نیروی جاذبه الکترومغناطیسی می شود که با نیروی $F = \frac{2(Z-2)e^2}{r^2}$ آن را به درون چاه جذب می کند. این نیرو برخلاف نیروی هسته ای بلند برداست. شکل کامل پتانسیل به صورت نشان داده شده در شکل ۴۲ است. در این شکل و در محاسبات زیر بار ذره آلفا را با Z_1 و هسته سنگین باقیمانده را با Z_2 نشان می دهیم. ذره آلفا می تواند از سد پتانسیلی که در برابر آن است تونل بزند. احتمال تونل زنی برابر است با

$$|T|^2 = e^{-G} \quad G = \int_R^b 2\sqrt{\frac{2m}{\hbar^2}(V(x) - E)}. \quad (155)$$

پتانسیل $V(x)$ را به شکل نشان داده شده در ۵۲ تقریب می زنیم. در نتیجه خواهیم داشت

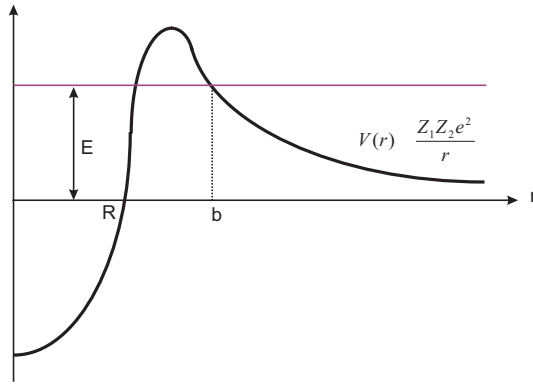
$$G = 2 \int_R^b 2\sqrt{\frac{2m}{\hbar^2}\left(\frac{Z_1 Z_2 e^2}{r} - E\right)} = 2\sqrt{\frac{2m}{\hbar^2} Z_1 Z_2 e^2} \int_R^b \sqrt{\frac{1}{r} - \frac{1}{b}} dr \quad (156)$$

با محاسبه انتگرال بدست می آوریم:

$$\begin{aligned} I &= \int_R^b \sqrt{\frac{1}{r} - \frac{1}{b}} dr = \frac{1}{\sqrt{b}} \int_R^b \sqrt{b-r} \frac{dr}{r^{\frac{1}{2}}} \\ &= 2\sqrt{b} \int_{\theta_0}^{\frac{\pi}{2}} \cos^2 \theta d\theta = \sqrt{b} \left(\frac{\pi}{2} - \sin^{-1} \sqrt{\frac{R}{b}} - \sqrt{\frac{R}{b}} \left(1 - \frac{R}{b}\right) \right). \end{aligned} \quad (157)$$

و در نتیجه

$$G = 2\sqrt{\frac{2m}{\hbar^2} Z_1 Z_2 e^2} \sqrt{b} \left(\cos^{-1} \sqrt{\frac{R}{b}} - \sqrt{\frac{R}{b}} \left(1 - \frac{R}{b}\right) \right). \quad (158)$$



شکل ۴۲: پتانسیلی که ذره آلفا می بیند.

در انرژی های پایین داریم $b \gg R$ و بنابراین G را می توان به شکل زیر تقریب زد:

$$G \approx \sqrt{\frac{2mZ_1Z_2e^2b}{\hbar^2}} \pi. \quad (159)$$

از آنجاکه انرژی ذره آلفا برابر است با E و با همین انرژی نیز آزاد می شود و به بی نهایت می رود می توان با استفاده از قانون بقای انرژی مقدار b را بر حسب انرژی ذره آلفا حساب کرد. در واقع داریم

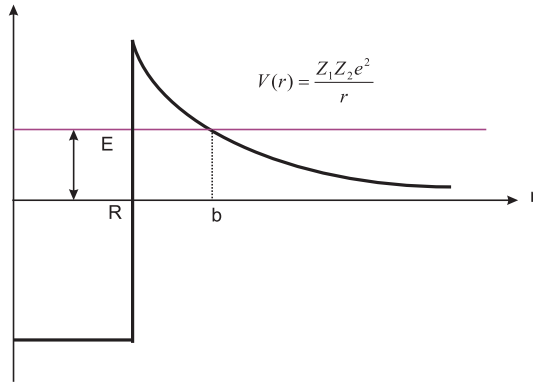
$$E = \frac{Z_1Z_2e^2}{b} \quad \longrightarrow \quad b = \frac{Z_1Z_2e^2}{E}, \quad (160)$$

و با جایگذاری این مقدار در عبارت G نهایتاً خواهیم داشت،

$$G \approx \frac{\pi Z_1Z_2e^2}{\hbar} \sqrt{\frac{2m}{E}}. \quad (161)$$

احتمال عبور از یک سد در یک برخورد برابر است با e^{-G} . بنابراین تعداد برخوردهای لازم برای یک بار عبور برابر است با $n = e^G$. زمان بین هر دو برخورد تقریباً برابر است با فاصله زمانی که ذره آلفا یک بار فاصله R را طی می کند یعنی $\tau \approx \frac{R}{v}$ که در آن v سرعت ذره آلفا درون هسته اتم است. بنابراین مدت زمان لازم برای صدور یک ذره آلفا برابر است با

$$T \approx \frac{R}{v} e^G = \frac{R}{\sqrt{2E/m}} e^{\frac{\pi Z_1Z_2e^2}{\hbar} \sqrt{\frac{2m}{E}}}.$$



شکل ۵۲: تقریب ساده ای از پتانسیلی که ذره آلفا می بیند.

پس یک هسته اتم بعد از زمان T ثانیه بطور تقریبی تبدیل به یک هسته سبک ترمی شود، و فرایندی شبیه به فرایند زیر را طی می کند:

$$\dots N_z^A \rightarrow N_{z-2}^{A-4} \rightarrow N_{z-4}^{A-8} \rightarrow \dots \quad (162)$$

مدت زمان T همان نیمه عمر هسته مادر با عدد اتمی Z است. برای ذره α ، داریم $Z_1 = Z - 2$ ، $Z_2 = 2$. بنابراین نیمه عمر هسته هایی که از طریق گسیل ذره α واپاشی می کنند از رابطه نیز بدست می آید:

$$T \approx \frac{R}{\sqrt{2E/m}} e^{\frac{2\pi(Z-2)e^2}{h} \sqrt{\frac{2m}{E}}} \quad (163)$$

می توانیم مدت زمان T را تخمین بزنیم. از آنجا که پتانسیل الکتریکی را به صورت $\frac{Z_1 Z_2 e^2}{r}$ نوشته ایم می بایست واحد های دستگاه گاوسی را به کار ببریم.

برای ذره α ، داریم $Z_1 = Z - 2$ ، $Z_2 = 2$ و $m \approx 4 \times 2 \times 10^{-24} g$. هرگاه هسته مادر را اورانیوم بگیریم داریم $Z = 92$. انرژی ذرات آلفا را در حدود ϵ میلیون الکترون ولت می گیریم که انرژی نمونه هسته ای است. بنابراین $E \approx \epsilon \times 10^6 \times 10^{-12} = \epsilon \times 10^{-4} erg$. شعاع هسته یا R نیز در حدود یک فرمی یا $10^{-13} cm$ فرمی است. هم چنین داریم $e = 4.8 \times 10^{-10} esu$ بنابراین خواهیم داشت

$$G \approx e^{37/\sqrt{\epsilon}} \approx 10^{16/\sqrt{\epsilon}} \quad (164)$$

و

$$\frac{R}{v} = \frac{10^{-13}}{\sqrt{\frac{2 \times \epsilon \times 10^{-4}}{8 \times 10^{-24}}}} \approx \frac{2}{\sqrt{\epsilon}} \times 10^{-23} sec \approx \frac{0.6}{\sqrt{\epsilon}} \times 10^{-30} \text{ سال} \quad (165)$$

در نتیجه نیمه عمر برحسب سال به ترتیب زیر بدست می آید:

$$T \approx \frac{0.6}{\sqrt{\epsilon}} 10^{16/\sqrt{\epsilon}} \times 10^{-30} \text{ سال} \quad (166)$$

۱۳ پتانسیل پریودیک

در این زیربخش یک پتانسیل پریودیک را مطالعه می کنیم. در یک بلور یون ها در یک آرایه سه بعدی که از تکرار یک سلول بنیادی ایجاد شده است جای گرفته اند. هر یون یک یا چند الکترون در محیط جامد آزاد کرده است و این الکترون ها تحت تاثیر جاذبه تمام یون های جامد هستند. در ساده ترین تقریب می توان از برهم کنش الکترون ها بایکدیگر صرف نظر کرد و تنها برهم کنش یک الکترون را با شبکه یون ها در نظر گرفت. چنین شبکه ای یک پتانسیل پریودیک در تمام فضا ایجاد می کند. هدف ما در این بخش آن است که ساده ترین مدل از یک پتانسیل پریودیک را مطالعه کنیم و ببینیم که در یک پتانسیل پریودیک طیف انرژی چه ویژگی های متمایزی پیدامی کند. برای سادگی پتانسیلی به شکل زیر در نظر می گیریم که از چاه های پتانسیل دلتا در فواصل a بایکدیگر تشکیل شده است و این چاه ها از $-\infty$ تا ∞ گسترده شده اند:

$$V(x) = - \sum_{n=0}^{N-1} V_0 \delta(x - na). \quad (167)$$

خصلت ممتاز این پتانسیل وجود تقارن انتقالی است یعنی

$$V(x+a) = V(x). \quad (168)$$

می دانیم که عملگر انتقال به شکل زیر تعریف می شود:

$$T_a := e^{i\frac{a}{\hbar}P} \quad (169)$$

این عملگر دارای خواص زیر است:

$$T_a X T_a^{-1} = X + a, \quad T_a |x\rangle = |x - a\rangle, \quad \langle x|T_a = \langle x + a|. \quad (170)$$

از این رابطه می توان نتیجه گرفت که برای هر پتانسیل $V(X)$

$$T_a V(X) T_a^\dagger = V(X + a) \quad (171)$$

از آنجا که پتانسیل ما متقارن است بنابراین نتیجه می گیریم

$$[T_a, H] = 0. \quad (172)$$

بنابراین می توانیم ویژه حالت های مشترک این دو عملگر را پیدا کنیم یعنی ویژه حالت های انرژی را ویژه حالت های T_a نیز بگیریم. برای این کار بهتر است ویژه حالت های T_a را مطالعه کنیم. از آنجا که T_a یک عملگر یکانی است ویژه مقدارهای آن فازهای خالص هستند. هم چنین با توجه به رابطه 170 می دانیم که

$$\langle x | T_a | \psi \rangle = \langle x + a | \psi \rangle, \longrightarrow T_a \psi(x) = \psi(x + a). \quad (173)$$

بنابراین ویژه توابع مشترک انرژی و عملگر T_a دارای خاصیت اضافی زیر هستند:

$$\psi(x + a) = e^{i\theta} \psi(x). \quad (174)$$

حال برای حل معادله شرودینگر مطابق معمول معادله را در فاصله بین چاه های دلتا حل می کنیم و سپس شرایط مرزی را در محل چاه ها بکار می بریم. می نویسیم

$$\Psi(x) = \begin{cases} \dots \\ \psi_n(x) = A_n e^{-qx} + B_n e^{qx} & na \leq x \leq (n+1)a, \\ \dots \end{cases} \quad (175)$$

که در آن $q = \sqrt{\frac{-2mE}{\hbar^2}}$ یاد آوری می کنیم که E منفی است بنابراین q حقیقی است. شرط پیوستگی تابع موج در نقطه na منجر به رابطه زیر می شود:

$$\psi_{n-1}(na) = \psi_n(na), \quad (176)$$

و یا

$$A_{n-1} e^{-qna} + B_{n-1} e^{-qna} = A_n e^{-qna} + B_n e^{qna}, \quad (177)$$

ویا

$$(A_{n-1} - A_n)e^{-qna} = (B_n - B_{n-1})e^{qna}. \quad (178)$$

حال مشتق تابع موج را درمحل چاه های پتانسیل بررسی می کنیم. درنقطه $x = na$ داریم:

$$-\frac{\hbar^2}{2m}(\psi'_n(na) - \psi'_{n-1}(na)) - V_0\psi_n(na) = 0. \quad (179)$$

باجایگذاری توابع ψ_{n-1} و ψ_n دراین رابطه بدست می آوریم

$$-\frac{\hbar^2}{2m}[-qA_n e^{-qna} + qB_n e^{qna} - (-qA_{n-1} e^{-qna} + qB_{n-1} e^{qna})] - V_0[A_n e^{-qna} + B_n e^{qna}] = 0 \quad (180)$$

که پس از مرتب کردن به صورت زیردرمی آید:

$$\left[\left(q - \frac{2mV_0}{\hbar^2} \right) A_n - qA_{n-1} \right] e^{-qna} + \left[qB_{n-1} - \left(q + \frac{2mV_0}{\hbar^2} \right) B_n \right] e^{qna} = 0. \quad (181)$$

حال شرط 174 را اعمال می کنیم که براساس آن باید داشته باشیم:

$$\psi_{n+1}(x+a) = e^{i\theta} \psi_n(x), \quad (182)$$

ویا

$$A_{n+1}e^{-q(x+a)} + B_{n+1}e^{q(x+a)} = e^{i\theta}(A_n e^{-qx} + B_n e^{qx}) \quad \forall x \in (na, (n+1)a). \quad (183)$$

از آنجا که این شرط می بایست برای تمام x های درون بازه فوق برقرار باشد نتیجه می گیریم که بین ضرایب A_n و B_n می بایست رابطه زیر برقرار باشد:

$$A_{n+1}e^{-qa} = e^{i\theta} A_n \quad B_{n+1}e^{qa} = e^{i\theta} B_n. \quad (184)$$

باتوجه به این شرط رابطه 178 به شکل زیردرمی آید:

$$(e^{-i\theta} e^{-qa} - 1)e^{-qna} A_n = (1 - e^{-i\theta} e^{qa})e^{qna} B_n. \quad (185)$$

هم چنین باتوجه به همین شرط رابطه 186 به شکل زیردرمی آید:

$$e^{-qna} \left[q(1 - e^{-qa-i\theta}) - \frac{2mV_0}{\hbar^2} \right] A_n = e^{qna} \left[q(1 - e^{qa-i\theta}) + \frac{2mV_0}{\hbar^2} \right] B_n. \quad (186)$$

این دو رابطه تنهاوقتی منجر به یک مقدار غیرصفر برای A_n و B_n و درنتیجه یک تابع موج غیرصفر می شوند که دترمینان ماتریس ضرایب برابر با صفر باشد، یعنی:

$$\frac{e^{-qa} - e^{i\theta}}{q(1 - e^{-qa-i\theta}) - \frac{2mV_0}{\hbar^2}} = -\frac{e^{qa} - e^{i\theta}}{q(1 - e^{qa-i\theta}) + \frac{2mV_0}{\hbar^2}}. \quad (187)$$

این رابطه پس از کمی مرتب کردن به صورت ساده زیردرمی آید

$$\cosh qa - \cos \theta = \frac{mV_0}{\hbar^2 q} \sinh qa, \quad (188)$$

و یا

$$\cos \theta = \cosh qa - \frac{mV_0}{\hbar^2 q} \sinh qa. \quad (189)$$

به ازای هر مقدار θ این رابطه مقدار q و درنتیجه انرژی ویژه حالت Ψ را مشخص می کند. برای مطالعه این رابطه بهتر است که متغیر بدون بعد y را به صورت $y := qa$ تعریف کنیم. درنتیجه رابطه فوق به صورت زیردرمی آید:

$$\cosh y - \frac{\lambda}{y} \sinh y = \cos \theta. \quad (190)$$

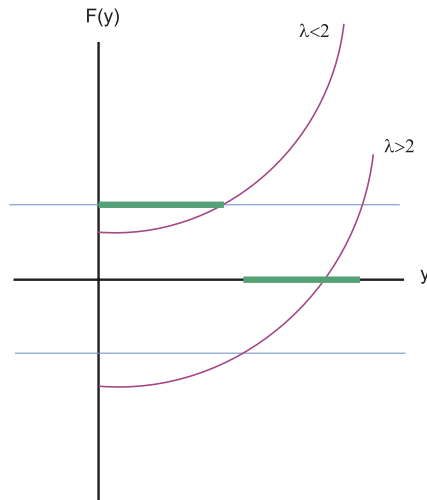
که در آن $\lambda := \frac{mV_0 a}{\hbar^2}$.

باید به یاد داشته باشیم که قدرمطلق طرف راست همواره از یک کوچکتر است. بنابراین قدرمطلق طرف چپ نیز می بایست بین -1 و 1 باشد، یعنی

$$-1 \leq \cosh y - \frac{\lambda}{y} \sinh y \leq 1. \quad (191)$$

این رابطه مقادیر مجاز y و درنتیجه مقادیر مجاز q ویا انرژی را تعیین می کند. برای این کار از روش ترسیمی استفاده می کنیم. تعریف می کنیم

$$f(y) := \cosh y - \frac{\lambda}{y} \sinh y. \quad (192)$$



شکل ۶۲: روش ترسیمی برای بدست آوردن نوارهای انرژی درمدل کرونیگ پنی، توضیح/شکل در متن داده شده است.

با کمی محاسبه معلوم می شود که

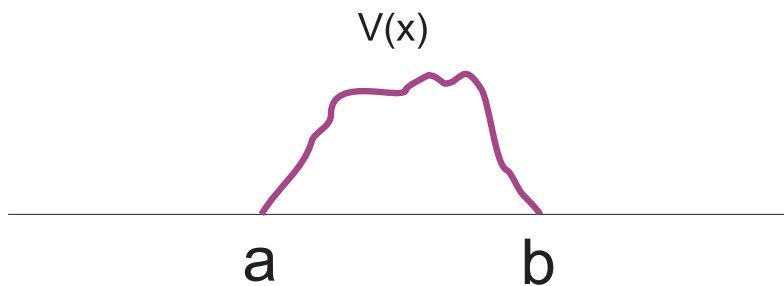
$$f(0) = 1 - \lambda, \quad f(+\infty) = +\infty \quad f'(0) = 0, \quad f''(0) = 1 - \lambda. \quad (193)$$

باتوجه به این اطلاعات می توان حل ترسیمی رابطه 196 را مطابق شکل ۶۲ بدست آورد. در شکل دیده می شود که برای $\lambda = \frac{mV_0 a}{\hbar^2} < 2$ ، یعنی وقتی که عمق ویا پهنای چاه از یک حد بحرانی کمتر باشد، سطوح انرژی از لبه چاه شروع می شوند و برای $\lambda = \frac{mV_0 a}{\hbar^2} > 2$ ، یعنی وقتی که عمق یا پهنای چاه از یک حد بحرانی بیشتر باشد، سطوح انرژی لبه چاه را پر نمی کنند بلکه از پایین تراز لبه شروع می شوند. در هر دو حالت نکته مهم آن است که سطوح انرژی یک نوار تشکیل می شوند. تشکیل نوار مشخصه همه پتانسیل های پر یودیک است. در واقع یک مسئله مهم در فیزیک حالت جامد تعیین ساختار نواری یا *Band Structure* سطوح انرژی الکترون ها در جامدات است.

حال فرض کنید که پتانسیل به صورت زیر باشد:

$$V(x) = \sum_{n=0}^{N-1} V_0 \delta(x - na). \quad (194)$$

فرق این پتانسیل با پتانسیل قبلی آن است که V_0 را به $-V_0$ تبدیل کرده ایم. می بایست انرژی را نیز مثبت در نظر بگیریم. هدف ما یافتن ساختار نواری برای این پتانسیل است. لازم نیست محاسبه جدیدی انجام دهیم کافی است که تبدیل $V_0 \rightarrow -V_0$ و $E \rightarrow -E$ و یا $q \rightarrow iq$ را در محاسبات قبلی اعمال کنیم. توابع موج در فاصله چاه ها به شکل امواج ایستاده خواهند بود:



شکل ۸۲: شکل پتانسیل برای مسئله یک.

و

$$\psi(x) = Ce^{ikx} + De^{-ikx} \quad x > b. \quad (198)$$

هرگاه معادله شرودینگر را حل کنیم به این نتیجه می‌رسیم که رابطه این ضرایب باهم یک رابطه خطی است که می‌توان آن را به صورت زیر نوشت:

$$\begin{pmatrix} C \\ B \end{pmatrix} = \begin{pmatrix} S_{11} & S_{12} \\ S_{21} & S_{22} \end{pmatrix} \begin{pmatrix} A \\ D \end{pmatrix}. \quad (199)$$

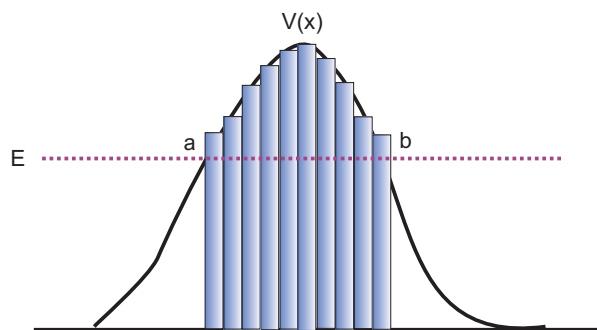
ماتریس S به دلایل واضح ماتریس پراکندگی خوانده می‌شود. از اصل بقای احتمال استفاده کنید و نشان دهید که روابط زیر برقرارند:

$$\begin{aligned} |S_{11}|^2 + |S_{21}|^2 &= 1 \\ |S_{12}|^2 + |S_{22}|^2 &= 1 \\ S_{11}S_{12}^* + S_{21}S_{22}^* &= 0 \end{aligned} \quad (200)$$

به عبارت دیگر نشان دهید که ماتریس S یک ماتریس یکانی است.

۲- پتانسیل $V(x) = V_0\delta(x)$ را در نظر بگیرید. برای این پتانسیل ماتریس پراکندگی را حساب کنید.

۳- پتانسیل $V(x) = V_0\delta(x+a) + V_0\delta(x-a)$ را در نظر بگیرید. برای این پتانسیل ماتریس پراکندگی را حساب کنید.



شکل ۹۲: شکل پتانسیل برای مسئله ۴.

۴ - پتانسیل شکل ۹۲ را در نظر بگیرید. پتانسیل $V(x)$ به شکل زیر است:

$$V(x) = \frac{\hbar^2 l(l+1)}{2mx^2}, \quad x > R \quad (201)$$

که در آن l یک عدد صحیح است. با استفاده از محاسبه احتمال تونل زنی، طول عمر ذره‌ای را که در درون چاه گیر افتاده است و انرژی $E = \frac{\hbar^2 k^2}{2m}$ دارد تخمین بزنید. نتیجه خود را برحسب پارامتر پارامتر بدون بعد $\frac{l}{kR}$ بیان کنید.